

# Твердотельная электроника

Презентации к лекционному курсу

## Полупроводниковые диоды

# Уравнения непрерывности

$$\frac{\partial n}{\partial t} = -\frac{\Delta n}{\tau_n} + \frac{1}{q} \frac{\partial \bar{j}_n}{\partial x} \quad (4.7)$$

$$\frac{\partial p}{\partial t} = -\frac{\Delta p}{\tau_p} - \frac{1}{q} \frac{\partial \bar{j}_p}{\partial x} \quad (4.8)$$

Плотности токов электронов и дырок:

$$j_n = j_{n\partial p} + j_{n\partial \text{диф}} = q \cdot n \cdot \mu_n \cdot E + q \cdot D_n \cdot \frac{dn}{dx} \quad (4.9)$$

$$j_p = j_{p\partial p} + j_{p\partial \text{диф}} = q \cdot p \cdot \mu_p \cdot E - q \cdot D_p \cdot \frac{dp}{dx} \quad (4.10)$$

Ток через переход остается постоянным:

$$j_n^{(p)} + j_p^{(p)} = j_n^{(n)} + j_p^{(n)} \quad (4.11)$$

# ПРИНЯТЫЕ ДОПУЩЕНИЯ ПРИ РАСЧЁТЕ ВАХ

- Модель электронно-дырочного перехода одномерная;  $p$ - и  $n$ -области имеют бесконечную протяженность.
- Переход тонкий, носители заряда пролетают через ОПЗ без рекомбинации (ОПЗ стянут в линию).
- Обе квазинейтральные области сильно легированы, падением напряжения на них можно пренебречь. Вся внешняя разность потенциалов приложена к  $pn$ -переходу.
- Рекомбинацию считаем линейной.
- Уровень инжекции мал ( $\Delta n_p \ll p_{p0}$ ,  $\Delta p_n \ll n_{n0}$ ).

Но в квазинейтральной области напряженность *внешнего* электрического поля равна нулю!

Таким образом, плотность тока в *n*-области определяется диффузионным током дырок, зависящим от их градиента концентрации:

$$\frac{\partial \Delta p_n}{\partial t} = -\frac{p_n - p_{n0}}{\tau_p} + D_p \frac{\partial^2 \Delta p_n}{\partial x^2} = 0$$

$$\frac{d^2 \Delta p_n}{dx^2} - \frac{\Delta p_n}{L_p^2} = 0 \quad L_p = \sqrt{D_p \cdot \tau_p}$$

Общее решение такого уравнения имеет вид:

$$\Delta p_n = A \cdot \exp(-x/L_p) + B \cdot \exp(x/L_p)$$



$$p_n = p_{n0} + \Delta p_n = p_{n0} + A \cdot \exp(-x/L_p)$$

Концентрация неравновесных дырок на границе ОПЗ при  $x=W_n$  равна:

$$p_n(W_n) = p_{no} \cdot \exp\left(\frac{V_{см}}{\phi_T}\right)$$

При  $x=W_n$ :

$$A = p_{no} \cdot \left[ \exp\left(\frac{V_{см}}{\phi_T}\right) - 1 \right] \cdot \exp\left(\frac{W_n}{L_p}\right).$$

Окончательно закон изменения концентрации неравновесных дырок в  $n$ -области при  $x > W_n$  принимает вид:

$$\begin{aligned} p_n(x) &= p_{n0} + \Delta p_n = p_{n0} + [p_n(0) - p_{n0}] \cdot \exp\left(-\frac{x - W_n}{L_p}\right) = \\ &= p_{n0} + p_{n0} \cdot \left[ \exp\left(\frac{V_{cm}}{\phi_T}\right) - 1 \right] \cdot \exp\left(-\frac{x - W_n}{L_p}\right) = \\ &= p_{n0} \cdot \left[ \exp\left(\frac{V_{cm}}{\phi_T}\right) - 1 \right] \cdot \left[ 1 - \exp\left(-\frac{x - W_n}{L_p}\right) \right] \end{aligned}$$

$$j_p = j_{p \text{ диф}} = -q \cdot D_p \cdot \frac{dp}{dx}$$

$$j_p^{(n)} = \frac{q \cdot D_p \cdot p_{n0}}{L_p} \cdot \left[ \exp\left(\frac{V_{см}}{\phi_T}\right) - 1 \right] \cdot \exp\left(-\frac{x - W_n}{L_p}\right)$$

На границе ОПЗ при  $x=W_n$ , получим:

$$j_p^{(n)} \Big|_{x=W_n} = \frac{q \cdot D_p \cdot p_{n0}}{L_p} \cdot \left[ \exp\left(\frac{V_{см}}{\phi_T}\right) - 1 \right].$$

Аналогично для  $p$ -области при  $x < -W_p$ :

$$\begin{aligned} n_p(x) &= n_{p0} + n_{p0} \cdot \left[ \exp\left(\frac{V_{cm}}{\phi_T}\right) - 1 \right] \cdot \exp\left(\frac{x + W_p}{L_n}\right) = \\ &= n_{p0} \cdot \left[ \exp\left(\frac{V_{cm}}{\phi_T}\right) - 1 \right] \cdot \left[ 1 - \exp\left(\frac{x + W_p}{L_n}\right) \right] \end{aligned}$$

$$j_n^{(p)} = \frac{q \cdot D_n \cdot n_{p0}}{L_n} \cdot \left[ \exp\left(\frac{V_{cm}}{\phi_T}\right) - 1 \right] \cdot \exp\left(\frac{x + W_p}{L_n}\right)$$

# Решение уравнения для ВАХ

На границе ОПЗ при  $x = -W_p$  справедливо выражение:

$$j_n^{(p)} \Big|_{x=-W_p} = \frac{q \cdot D_n \cdot n_{p0}}{L_n} \cdot \left[ \exp\left(\frac{V_{см}}{\phi_T}\right) - 1 \right] \quad (4.15)$$

$$\Rightarrow j = q \cdot \left( \frac{D_n \cdot n_{p0}}{L_n} + \frac{D_p \cdot p_{n0}}{L_p} \right) \cdot \left[ \exp\left(\frac{V_{см}}{\phi_T}\right) - 1 \right] = J_s \cdot \left[ \exp\left(\frac{V_{см}}{\phi_T}\right) - 1 \right] \quad (4.16)$$

$$\begin{aligned} \text{где } j_s = j_{sn} + j_{sp} &= \frac{q \cdot D_n \cdot n_p}{L_n} + \frac{q \cdot D_p \cdot p_n}{L_p} = \\ &= q \cdot n_i^2 \cdot \left( \frac{D_n}{L_n \cdot N_a} + \frac{D_p}{L_p \cdot N_d} \right) = q \cdot \left( \frac{n_p \cdot L_n}{\tau_n} + \frac{p_n \cdot L_p}{\tau_p} \right) \end{aligned} \quad (4.17)$$

ВАХ тонкого  $pn$ -перехода описывается уравнением:

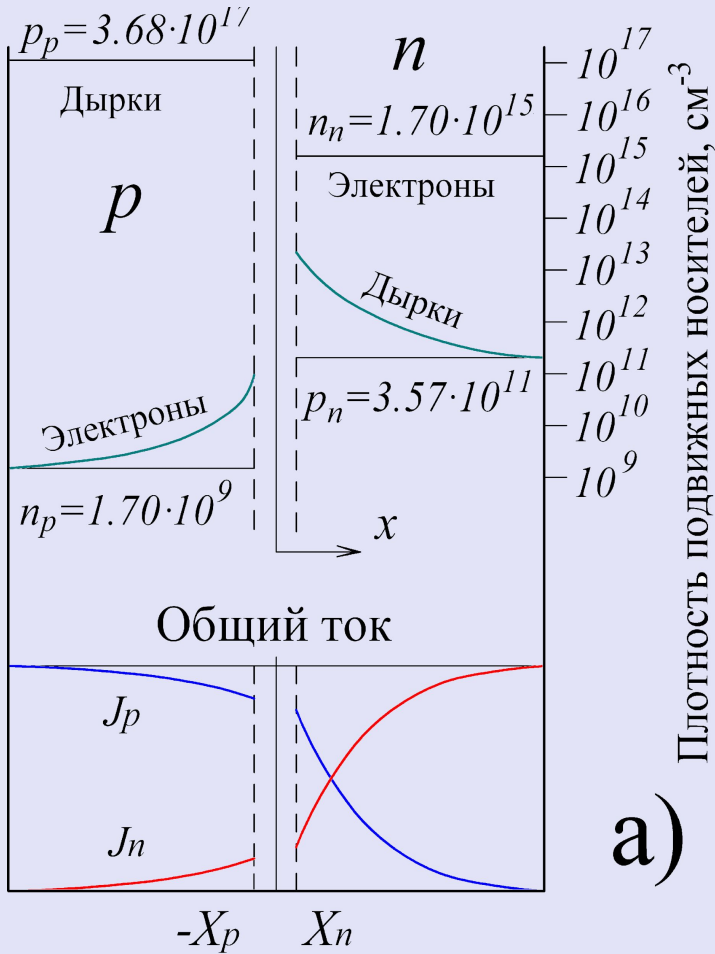
$$j = q \cdot \left( \frac{D_n \cdot n_{p0}}{L_n} + \frac{D_p \cdot p_{n0}}{L_p} \right) \cdot \left[ \exp\left(\frac{V_{см}}{\phi_T}\right) - 1 \right] = J_s \cdot \left[ \exp\left(\frac{V_{см}}{\phi_T}\right) - 1 \right].$$

известным как **формула Шокли**.

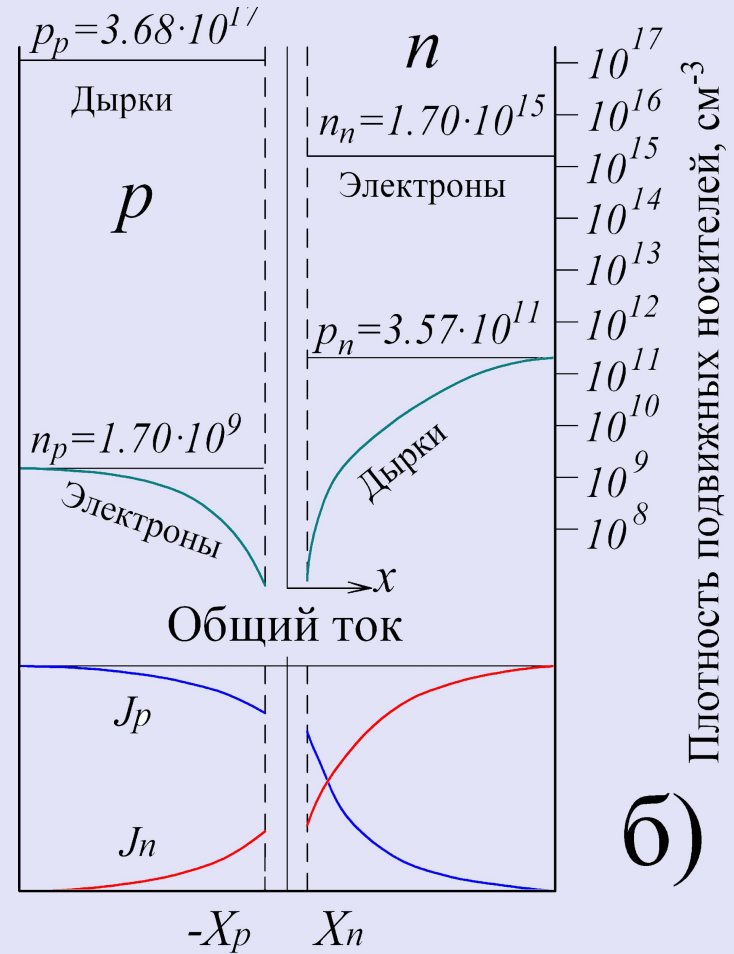
где

$$\begin{aligned} j_s = j_{sn} + j_{sp} &= \frac{q \cdot D_n \cdot n_p}{L_n} + \frac{q \cdot D_p \cdot p_n}{L_p} = q \cdot n_i^2 \cdot \left( \frac{D_n}{L_n \cdot N_a} + \frac{D_p}{L_p \cdot N_d} \right) = \\ &= q \cdot \left( \frac{n_p \cdot L_n}{\tau_n} + \frac{p_n \cdot L_p}{\tau_p} \right) \end{aligned}$$

# Распределение носителей в p-n переходе



а)



б)

$$j_p^{(n)} = -\frac{q \cdot D_p \cdot p_{n0}}{L_p} \cdot \exp\left(-\frac{x}{L_p}\right)$$

$$j_n^{(p)} = -\frac{q \cdot D_n \cdot n_{p0}}{L_n} \cdot \exp\left(\frac{x}{L_n}\right)$$

$$j_s = j_{sn} + j_{sp} = \frac{q \cdot D_n \cdot n_p}{L_n} + \frac{q \cdot D_p \cdot p_n}{L_p}.$$



# Расчет для кремниевого $p$ - $n$ -перехода

Пусть  $p_{po} = N_a = 10^{18} \text{ см}^{-3}$ ,  $n_{no} = N_d = 10^{15} \text{ см}^{-3}$

Тогда  $n_{po} = 10^2 \text{ см}^{-3}$ ,  $p_{no} = 10^5 \text{ см}^{-3}$

## При прямом смещении:

Пусть  $V_{см} = 0.6 \text{ В}$ , тогда  $\exp\left(\frac{V_{см}}{\varphi_T}\right) = \exp\left(\frac{600}{26}\right) \approx 10^{10}$

$$p_n(W_n) = p_{no} \cdot \exp\left(\frac{V_{см}}{\varphi_T}\right) = 10^{15} \text{ см}^{-3} \text{ и равна } n_{no}$$

$$n_p(W_p) = n_{po} \cdot \exp\left(\frac{V_{см}}{\varphi_T}\right) = 10^{12} \text{ см}^{-3}$$

## При обратном смещении:

Уже при  $V_{см} = -3 \cdot \varphi_T = -78 \text{ мВ}$   $\exp(-3) \approx 0.05$   
т.е. граничные концентрации составляют 5% от исходных.

$$n_{p0} \ll \Delta n_p \quad \text{и} \quad p_{n0} \ll \Delta p_n$$

$$p_n(x) \approx p_{n0} \cdot \left[ \exp\left(\frac{V_{см}}{\varphi_T}\right) - 1 \right] \cdot \exp\left(-\frac{x}{L_p}\right)$$

$$n_p(x) \approx n_{p0} \cdot \left[ \exp\left(\frac{V_{см}}{\varphi_T}\right) - 1 \right] \cdot \exp\left(\frac{x}{L_n}\right)$$

$$j_{pS} = -\frac{q \cdot D_p \cdot p_{n0}}{L_p}$$

$$j_{nS} = -\frac{q \cdot D_n \cdot n_{p0}}{L_n}$$

$$D_p = 2.5 \text{ cm}^2/\text{c}$$

$$D_n = 25 \text{ cm}^2/\text{c}$$

$$L_p = 14 \cdot 10^{-4} \text{ cm}$$

$$L_n = 20 \cdot 10^{-4} \text{ cm}$$

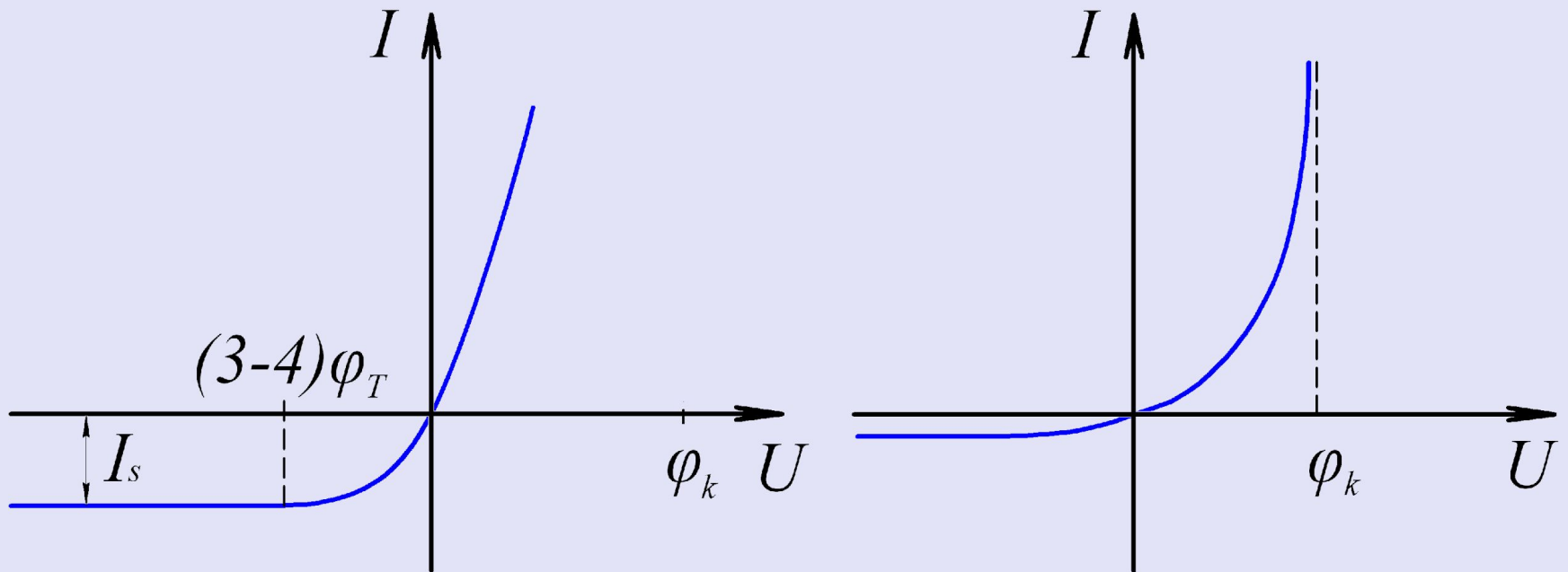
$$j_{pS} = 0.3 \cdot 10^{-10} \text{ A/cm}^2$$

$$j_{nS} = 2 \cdot 10^{-13} \text{ A/cm}^2$$

$$j_p \approx j_{pS} \cdot \left[ \exp\left(\frac{V_{cM}}{\phi_T}\right) \right] = 0.3 \cdot 10^{-10} \cdot 10^{10} = 0.3 \text{ A/cm}^2$$

$$j_n \approx j_{nS} \cdot \left[ \exp\left(\frac{V_{cM}}{\phi_T}\right) \right] = 2 \cdot 10^{-13} \cdot 10^{10} = 2 \cdot 10^{-3} \text{ A/cm}^2$$

# ВАХ р-n-перехода



Оценим, насколько справедливо в нашем примере предположение, что напряжение смещения приложено только к  $pn$ -переходу. Для полученного полного тока определим падение напряжения на толще  $n$ - и  $p$ -областей, приняв длину  $n$ -области  $l_n = 0,01$  см, длину  $p$ -области за  $1 \text{ мкм} = 10^{-4}$  см. Проводимости  $\sigma_n = q \cdot \mu_n \cdot n$ ,  $\sigma_p = q \cdot \mu_p \cdot p$ .

Подвижности  $\mu_n$  и  $\mu_p$  зависят от концентраций примеси в полупроводниках, исходя из данных, приведенных в литературе:  $\mu_n = 300 \text{ см}^2/\text{В} \cdot \text{с}$ ,  $\mu_p = 100 \text{ см}^2/\text{В} \cdot \text{с}$ .

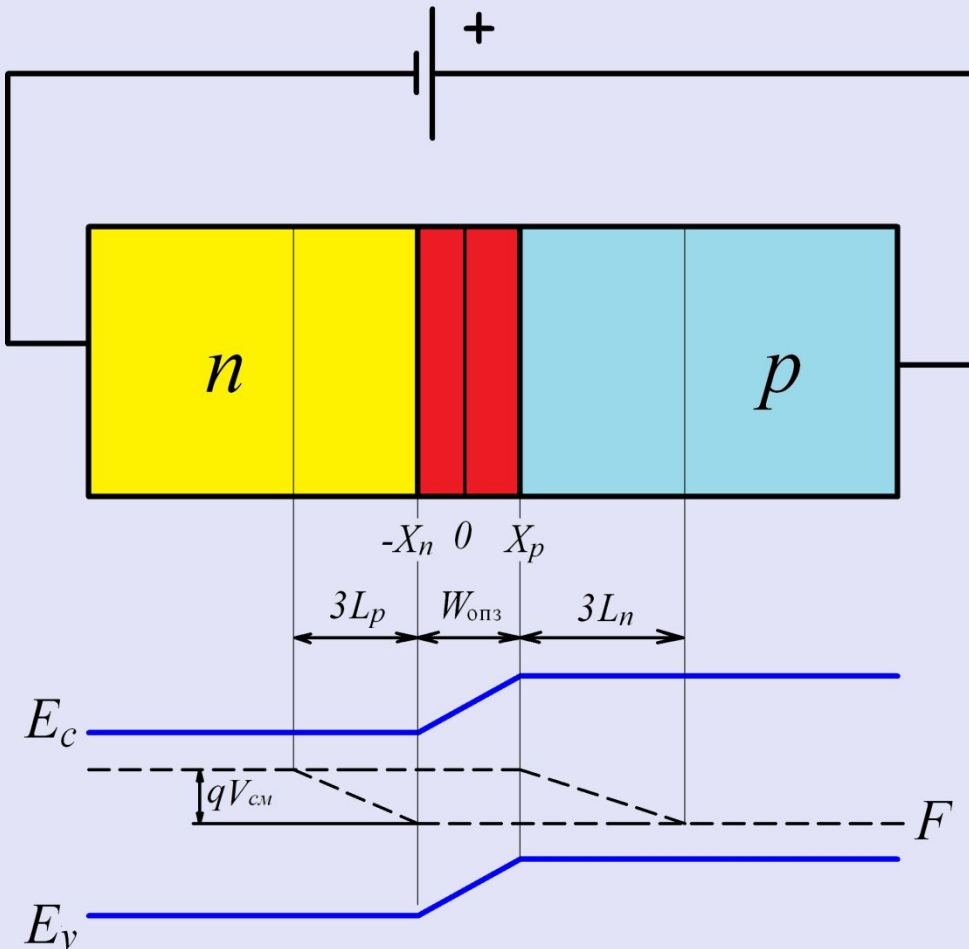
$$\sigma_n = q \cdot \mu_n \cdot n = 1,6 \cdot 10^{-19} \cdot 10^{15} \cdot 300 = 4,8 \cdot 10^{-2} (\text{Ом} \cdot \text{см})^{-1}$$

$$\sigma_p = q \cdot \mu_p \cdot p = 1,6 \cdot 10^{-19} \cdot 10^{18} \cdot 100 = 16 (\text{Ом} \cdot \text{см})^{-1}$$

Падение напряжения на  $n$ - и  $p$ -  
слоях

$$V_n = \frac{j}{\sigma_n} \cdot l_n \cong \frac{0,3 \cdot 10^2 \cdot 0,01}{4,8} = 0,0625 \text{ В} \quad V_p = \frac{j}{\sigma_p} \cdot l_p \cong \frac{0,3 \cdot 10^2 \cdot 10^{-4}}{16} = 0,0002 \text{ В}$$

# Прямое смещение р-п-перехода



Ширина ОПЗ:

$$W_{np} = \sqrt{\frac{2 \cdot \epsilon_0 \cdot \epsilon_s}{q} \cdot (\phi_k - V_{cm}) \cdot \frac{N_d + N_a}{N_d \cdot N_a}}$$

Концентрация дырок:

$$p_n(X_n) = p_p \cdot \exp\left(-\frac{(\phi_k - V_{cm})}{\phi_T}\right) =$$

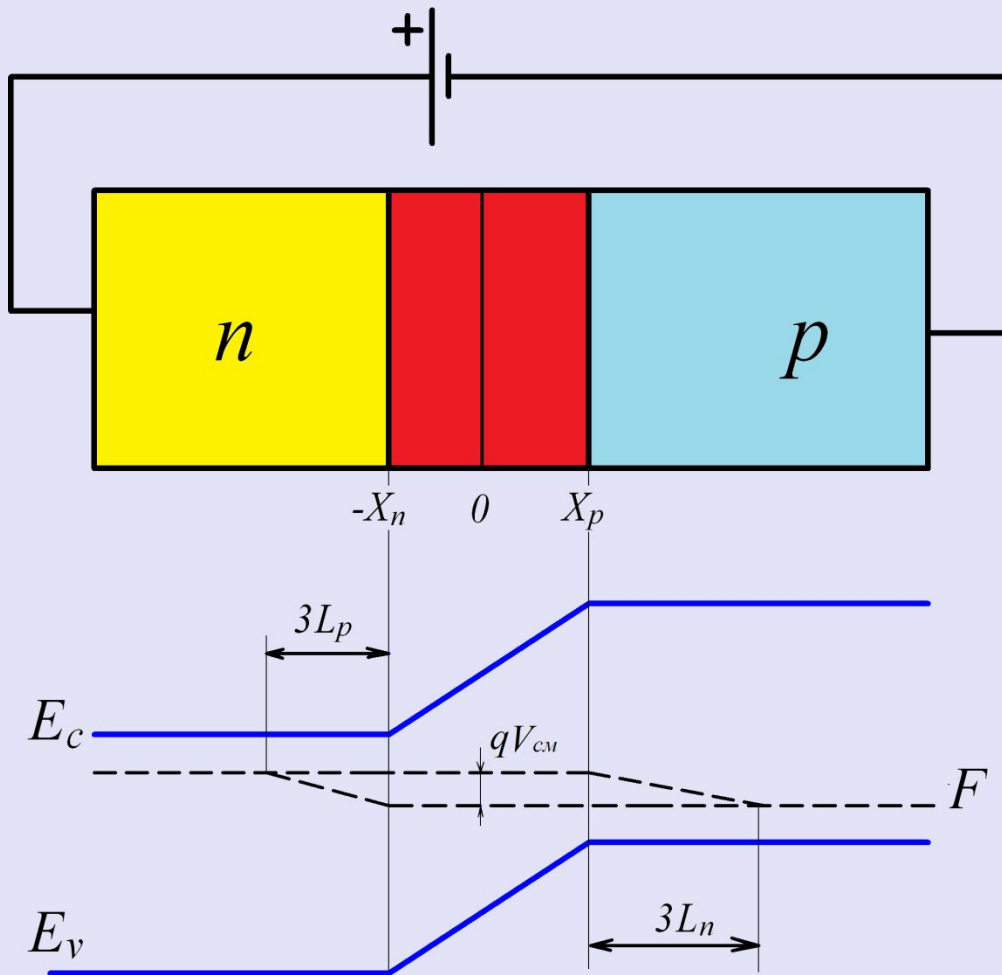
$$= p_{no} \cdot \exp\left(\frac{V_{cm}}{\phi_T}\right)$$

Избыточные концентрации:

$$\Delta p_n(X_n) = p_n - p_{n0} = p_{no} \cdot \exp\left(\frac{V_{cm}}{\phi_T} - 1\right)$$

$$\Delta n_p(-X_p) = n_{po} \cdot \exp\left(\frac{V_{cm}}{\phi_T} - 1\right)$$

# Обратное смещение р-п-перехода



Ширина ОПЗ:

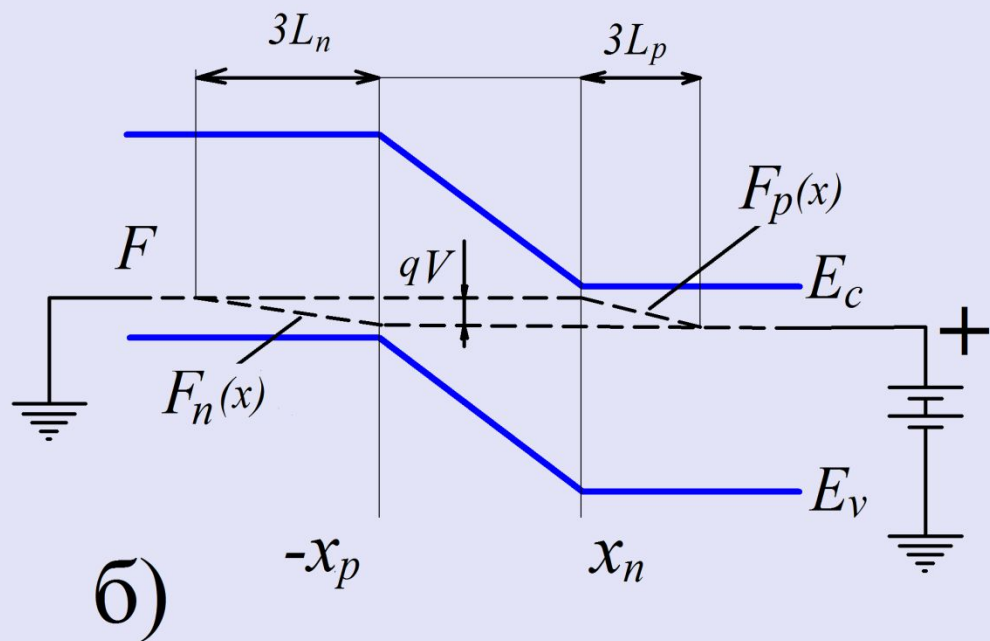
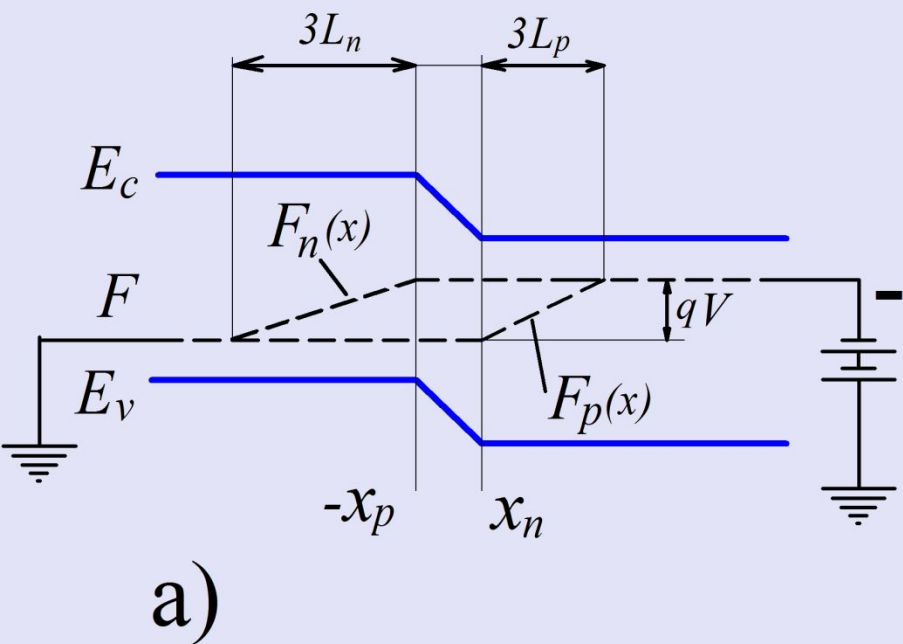
$$W_{обр} = \sqrt{\frac{2 \cdot \epsilon_0 \cdot \epsilon_s \cdot (\phi_k + V_{см})}{q} \cdot \frac{N_d + N_a}{N_d \cdot N_a}}$$

Концентрация дырок:

$$p_n(X_n) = p_p \cdot \exp\left(-\frac{(\phi_k + V_{см})}{\phi_T}\right) =$$

$$= p_{no} \cdot \exp\left(\frac{V_{см}}{\phi_T}\right)$$

# Энергетические диаграммы при прямом и обратном смещении $p$ - $n$ -перехода





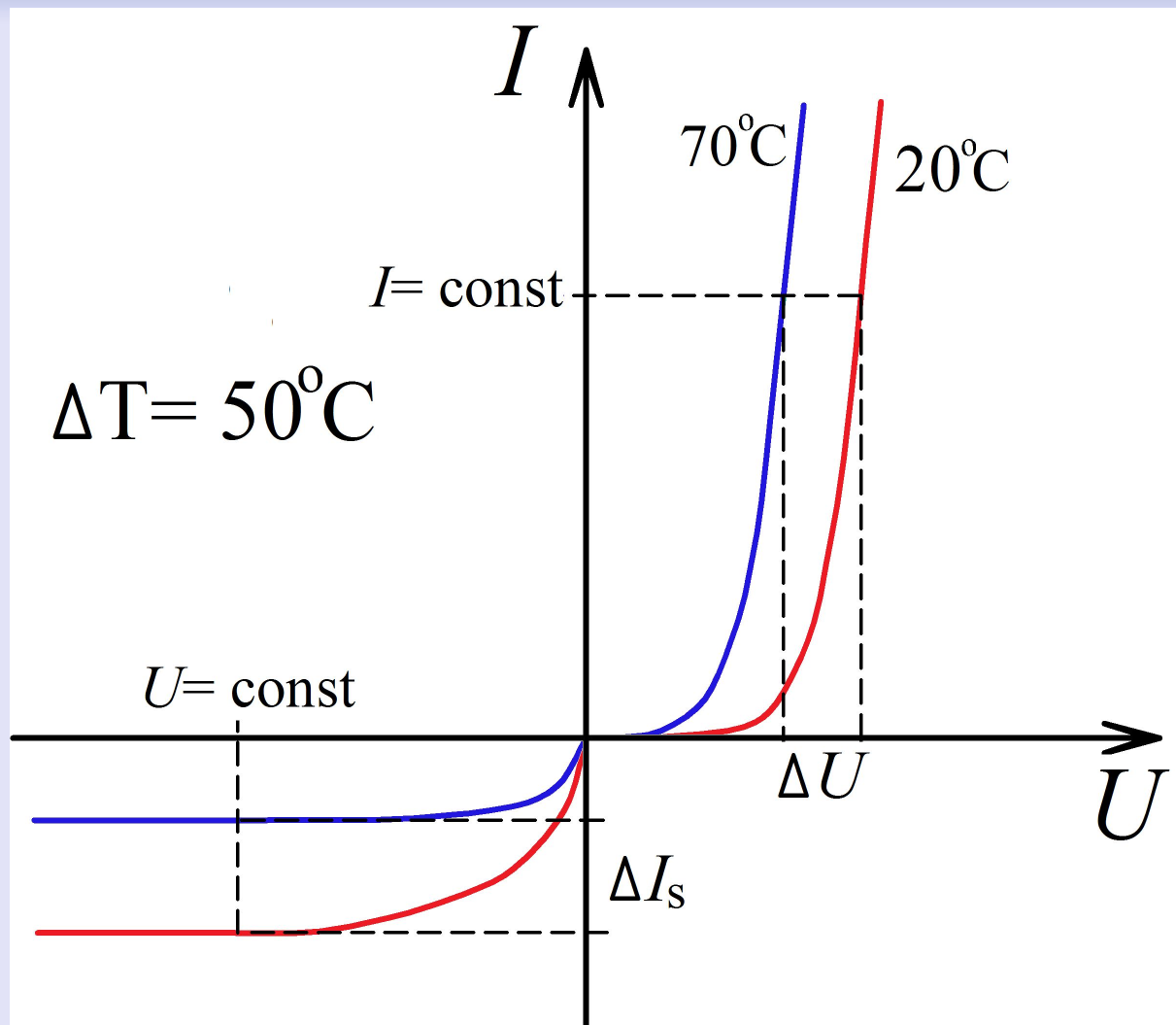
# Влияние различных факторов на ВАХ *p**n*-перехода

$$n_i = \sqrt{N_c(T) \cdot N_v(T)} \cdot \exp\left(-\frac{E_g(T)}{2kT}\right)$$

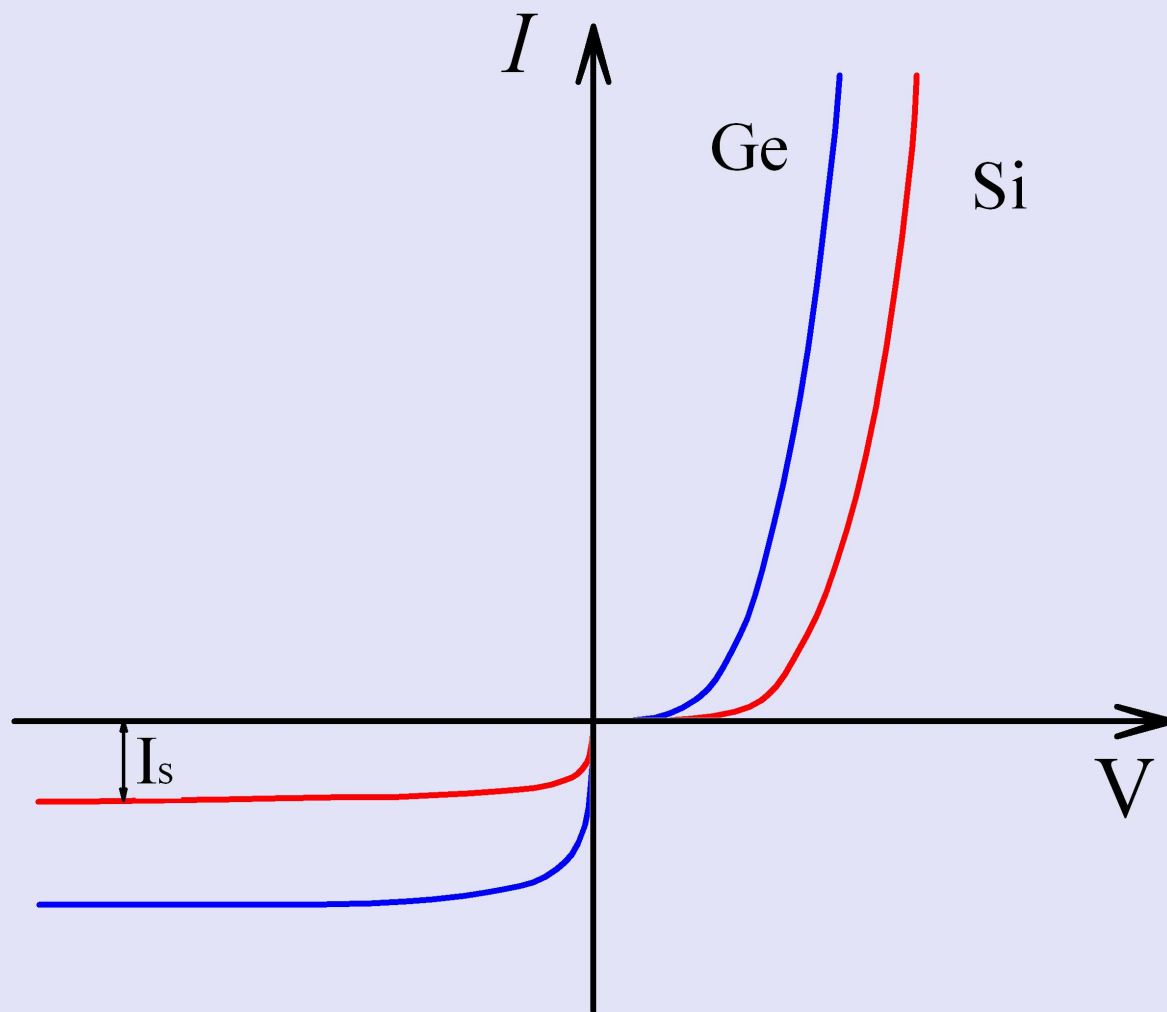
$$j_s = j_{sn} + j_{sp} = \frac{q \cdot D_n \cdot n_p}{L_n} + \frac{q \cdot D_p \cdot p_n}{L_p} = q \cdot n_i^2 \cdot \left( \frac{D_n}{L_n \cdot N_a} + \frac{D_p}{L_p \cdot N_d} \right)$$

$$\phi_k = \phi_T \ln \frac{N_d \cdot N_a}{n_i^2}$$

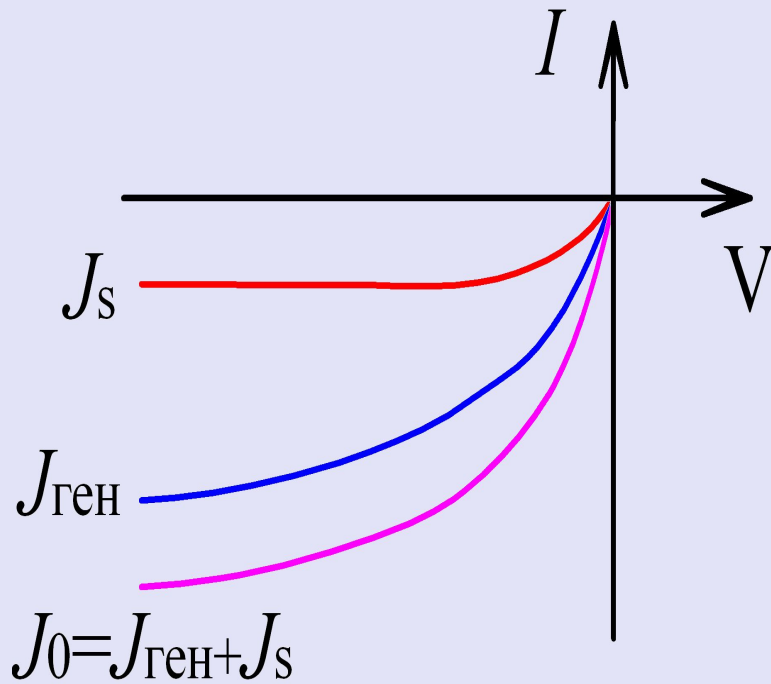
# Влияние температуры на ВАХ



# ВАХ кремниевого и германиевого диодов



# Влияние генерации-рекомбинации на ВАХ



Ширина ОПЗ:

$$W_{np} = \sqrt{\frac{2 \cdot \varepsilon_0 \cdot \varepsilon_s}{q} \cdot (\phi_k - V_{cm}) \cdot \frac{N_d + N_a}{N_d \cdot N_a}}$$

Ток генерации-рекомбинации:

$$J_{\text{ГЕН}} = J_{\text{ГРО}} \cdot \left[ \exp\left(\frac{V_{cm}}{m \cdot \phi_T}\right) - 1 \right] \quad (4.18)$$

$$J_{\text{ГРО}}(V_{cm}) = \frac{q \cdot n_i \cdot W(V_{cm})}{\tau_{\text{ЭФФ}}},$$

$$\tau_{\text{ЭФФ}} = 2 \cdot \sqrt{\tau_n \cdot \tau_p} \left( \frac{E_t - E_i}{kT} + \frac{1}{2} \cdot \ln \frac{\tau_p}{\tau_n} \right)$$

$$\tau_{eff} \cong \sqrt{\tau_n \cdot \tau_p} \cdot \ln \frac{\tau_p}{\tau_n}, \text{ если } E_t \cong E_i$$

– прямое смещение *pn*-перехода:

$$\tau_{np} = \sqrt{\tau_n \cdot \tau_p}$$

– обратное смещение *pn*-перехода:

$$\tau_{обр} = \tau_n + \tau_p$$

# Емкостные свойства *pn*-перехода

# К расчету емкости р-n- перехода

При нулевом смещении на рп-  
переходе:

$$W_0 = \sqrt{\frac{2\varepsilon_0\varepsilon_s}{q} \phi_k \frac{N_d + N_a}{N_d N_a}}$$

$$W_n = \sqrt{\frac{2\varepsilon_0\varepsilon_s}{q} \phi_k \cdot \frac{N_a}{(N_d + N_a)N_d}}; W_p = \sqrt{\frac{2\varepsilon_0\varepsilon_s}{q} \phi_k \cdot \frac{N_d}{(N_d + N_a)N_a}}$$

При обратном смещении:

$$W_{обр} = \sqrt{\frac{2\varepsilon_0\varepsilon_s}{q} \cdot (\phi_k + V_{см}) \cdot \frac{N_d + N_a}{N_d \cdot N_a}}$$

$$W_n = \sqrt{\frac{2\varepsilon_0\varepsilon_s}{q} \cdot (\phi_k + V_{см}) \cdot \frac{N_a}{(N_d + N_a)N_d}}; W_p = \sqrt{\frac{2\varepsilon_0\varepsilon_s}{q} \cdot (\phi_k + V_{см}) \cdot \frac{N_d}{(N_d + N_a)N_a}}$$

# Из формулы для плоского конденсатора:

$$C_{\text{бар}} = \frac{\varepsilon_0 \cdot \varepsilon_s \cdot S}{W} = S \cdot \sqrt{\frac{\varepsilon_0 \cdot \varepsilon_s \cdot q}{2 \cdot (\phi_k + V_{\text{см}})}} \cdot \frac{N_d \cdot N_a}{N_d + N_a}$$

При

$N_a \gg N_d$ :

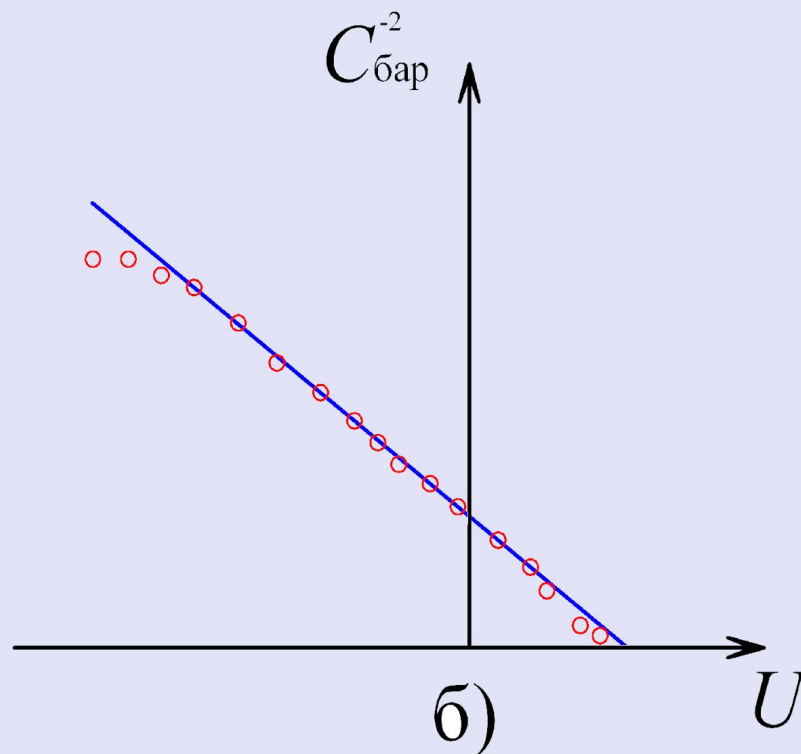
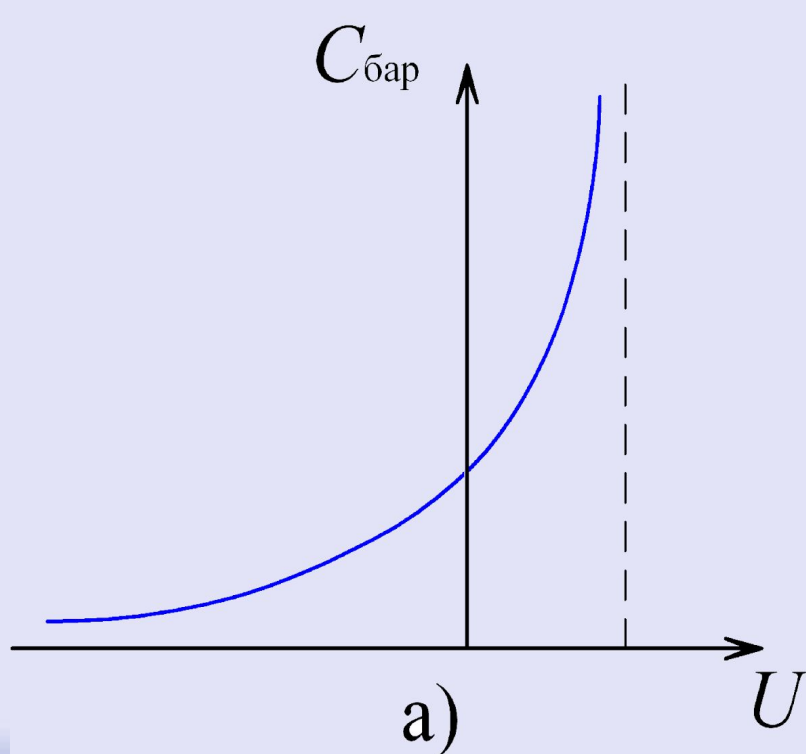
$$C_{\text{бар}} = S \cdot \sqrt{\frac{\varepsilon_0 \cdot \varepsilon_s \cdot q}{2 \cdot (\phi_k + V_{\text{см}})}} \cdot N_d$$



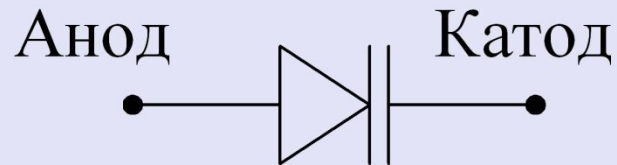
# Барьерная емкость диода

Для ступенчатого  $pn$ -перехода с площадью  $S$ :

$$C_{\text{бар}} = \frac{\varepsilon_0 \cdot \varepsilon_s \cdot S}{W(V_{\text{см}})} = S \cdot \sqrt{\frac{q \cdot \varepsilon_0 \cdot \varepsilon_s}{2 \cdot (\phi_k - V_{\text{см}})} \cdot \frac{N_d \cdot N_a}{N_d + N_a}}$$



Емкость  $pn$ -перехода может изменяться в значительных пределах, что позволило использовать это свойство в *варикапах*.



**Варикап** – нелинейный управляемый конденсатор, емкость которого изменяется в зависимости от обратного напряжения. В варикапах используется барьерная емкость, не зависящая от частоты вплоть до миллиметрового диапазона, имеющая малый температурный коэффициент емкости.

Варикап обладает высокой стабильностью параметров во времени. В радиоэлектронных устройствах варикапы применяют в усилителях, умножителях частоты, смесителях, детекторах и в схемах с электронной настройкой.

# Диффузионная емкость $pn$ -перехода

$$C_{\text{диф}} = \frac{dQ}{dV}$$

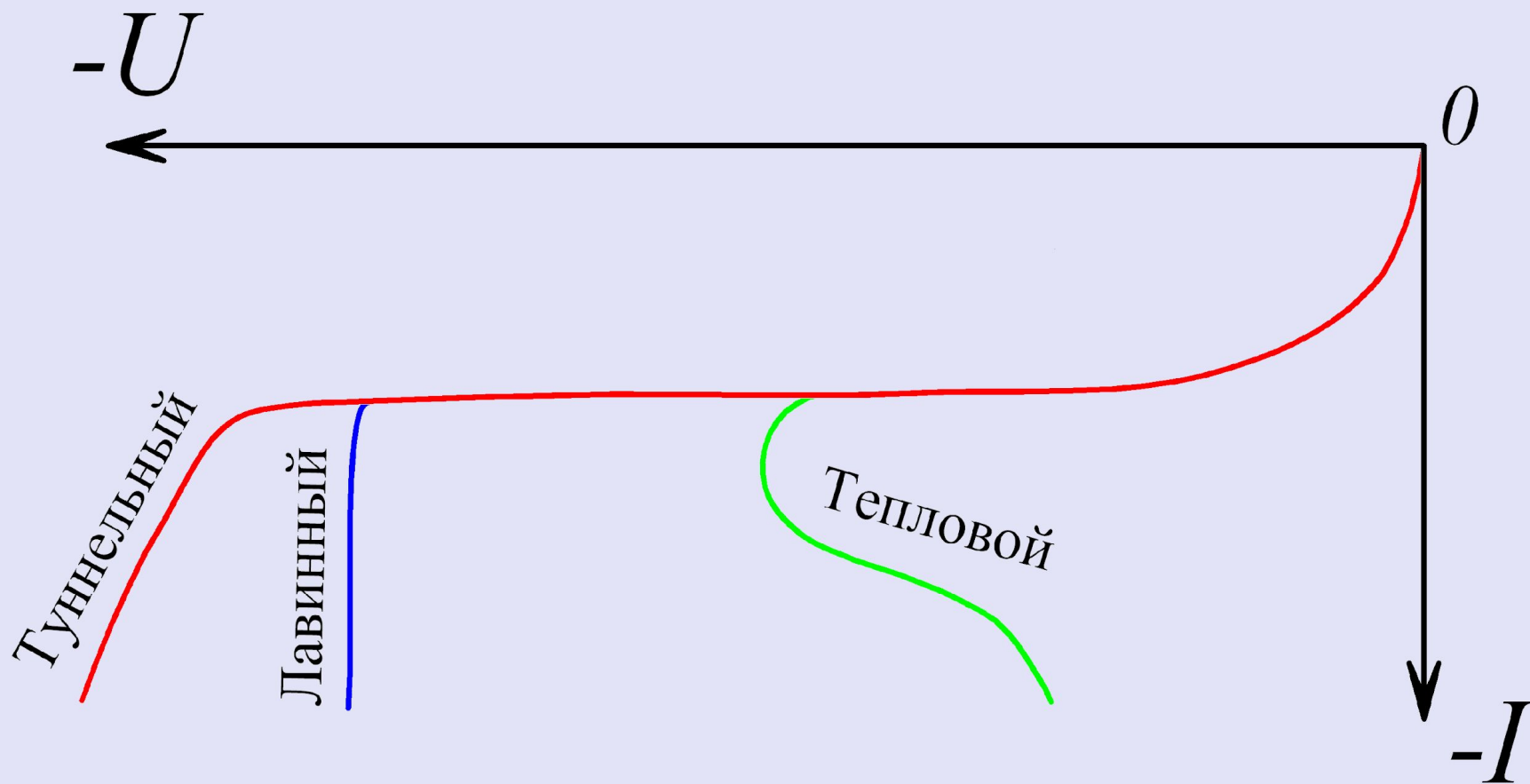
где  $Q$  – инжектированный заряд.

$$C_{\text{диф}} = \frac{(I_p \tau_p + I_n \tau_n)}{\phi_T} = S \frac{j_p \tau_p + j_n \tau_n}{\phi_T}$$

*Полная емкость  $pn$ -перехода равна сумме барьерной и диффузионной емкостей. При прямых напряжениях барьерная емкость много меньше диффузионной, а при обратных напряжениях она значительно превышает ее. Соотношения между барьерной и диффузионной емкостью определяют частотные зависимости  $pn$ -перехода.*

Пробой  $p$ - $n$ -перехода

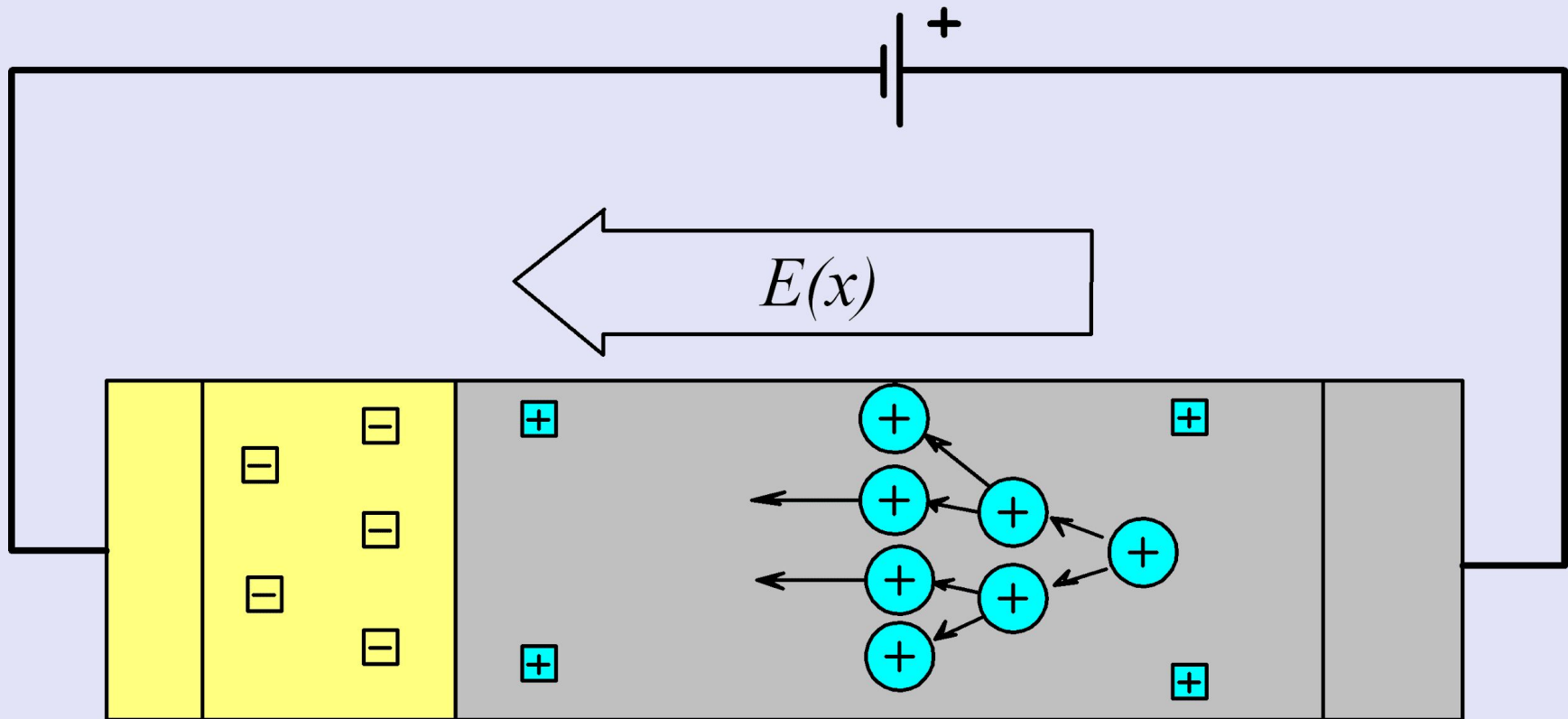
# Обратная ВАХ при различных видах пробоя



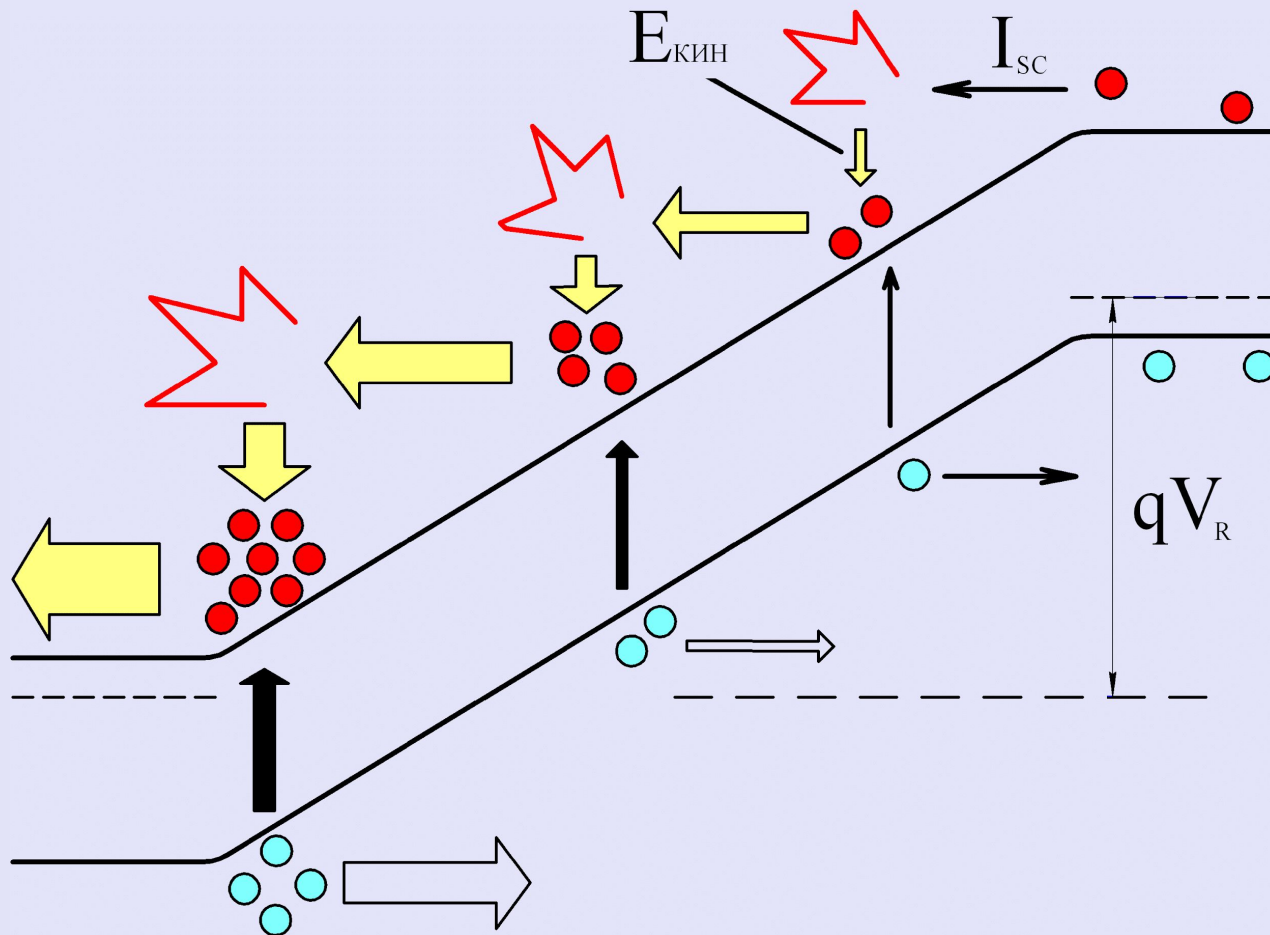
# Схема, иллюстрирующая лавинный пробой

$$q \cdot l_{cv} \cdot E_{np} \geq E_g$$

$$W \gg l_{cv}$$



# Лавинный пробой



Коэффициент лавинного умножения  $M$ , определяемый как *количество актов лавинного умножения в области сильного электрического поля*, для которого справедливо следующее эмпирическое соотношение Миллера:

$$M = \frac{J}{J_0} \approx \left[ 1 - \left( \frac{V_{см}}{V_{проб}} \right)^n \right]^{-1}$$



Напряжение лавинного пробоя зависит от степени легирования  $p$ - и  $n$ -областей. Так, например для резкого кремниевого  $p$ - $n$ -перехода зависимость напряжения пробоя от степени легирования  $n$ -области имеет вид:

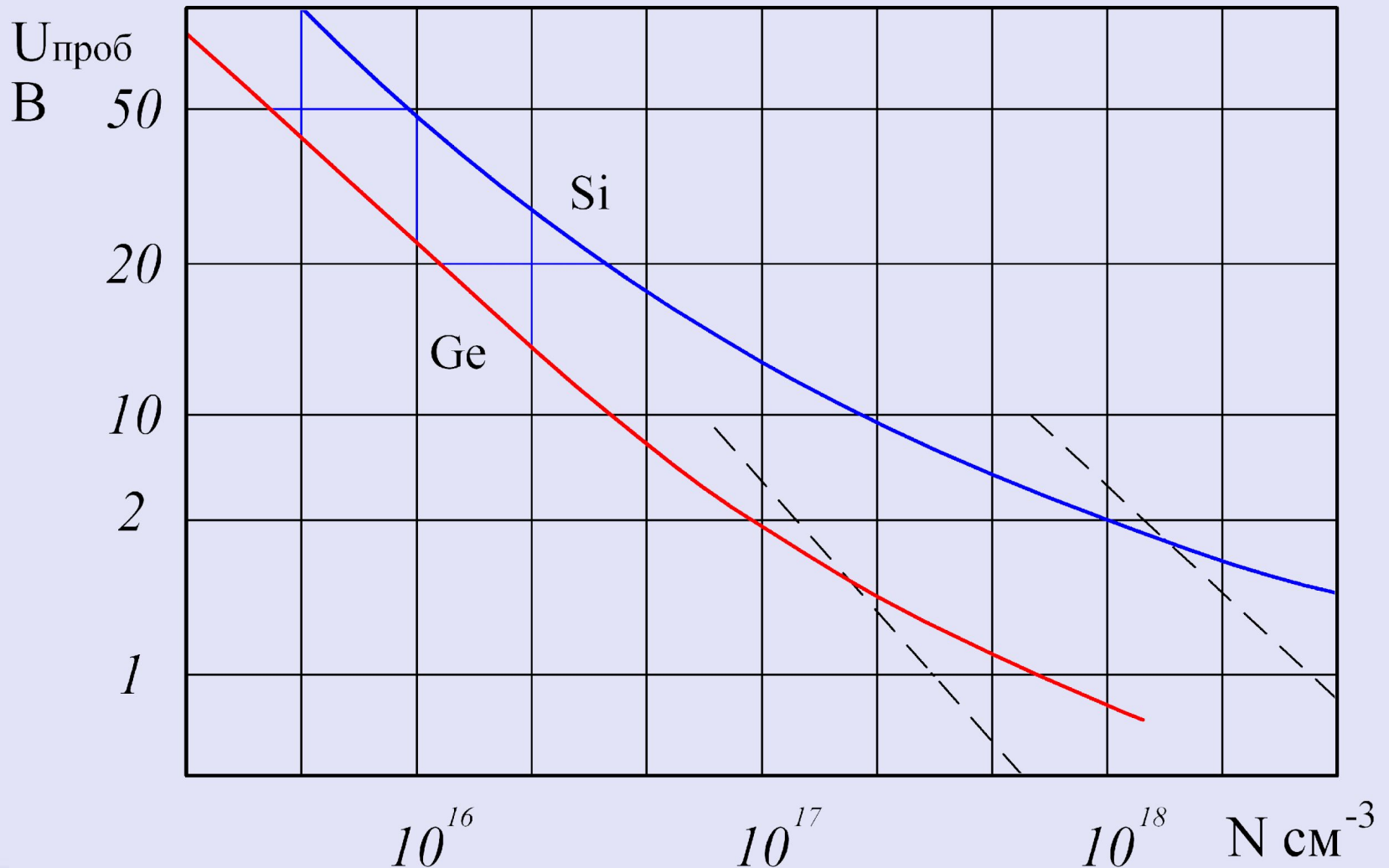
$$V_{\text{проб}} \approx 60 \cdot \left( \frac{E_g}{1.1} \right)^{3/2} \cdot \left( \frac{N}{10^{16}} \right)^{-3/4}$$

Напряжение лавинного пробоя кремниевого  $pn$ -перехода с *линейным* распределением примеси (то есть при изменении примеси по линейному закону) определяется формулой:

$$V_{\text{проб}} \approx 60 \cdot \left( \frac{E_g}{1.1} \right)^{1,2} \left( \frac{a}{3 \cdot 10^{20}} \right)^{-0,4},$$

где  $a$  – градиент концентрации примеси

# Зависимость напряжения лавинного пробоя от концентрации примеси в низколегированной области для резкого $pn$ -перехода

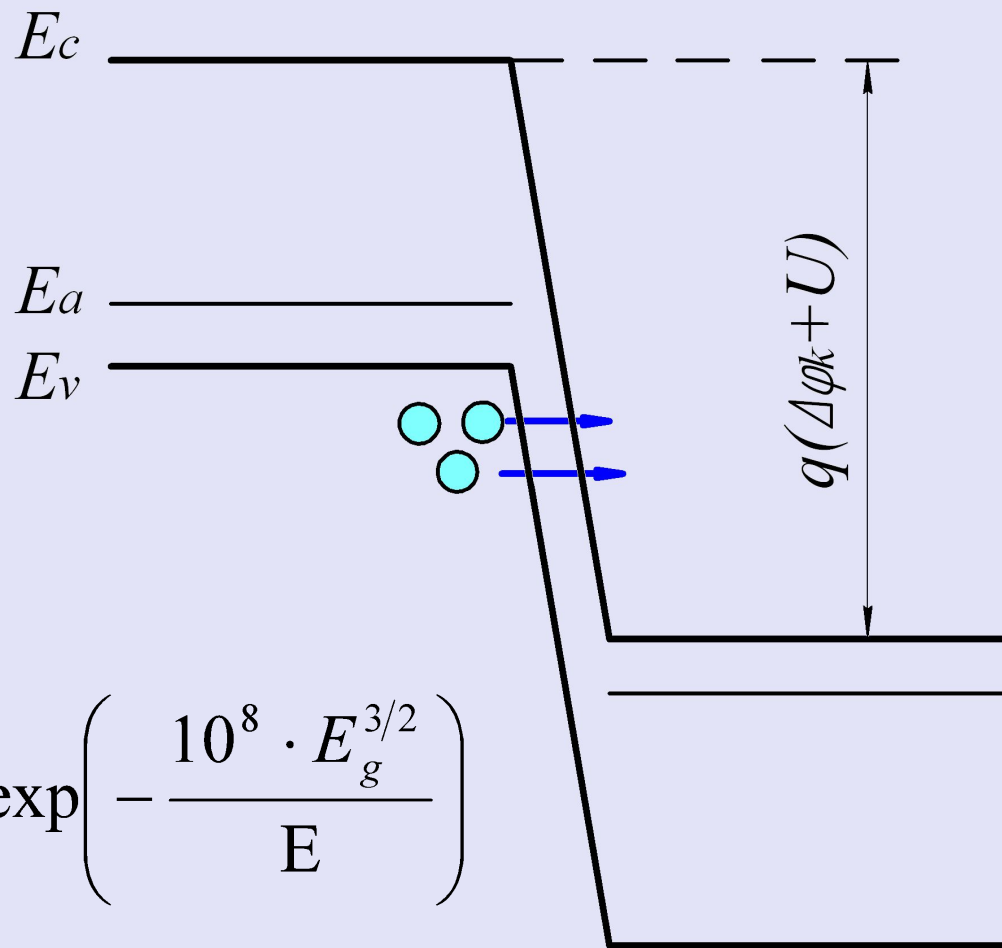


Температурная зависимость напряжения лавинного пробоя определяется уменьшением длины свободного пробега носителей заряда с *увеличением* температуры.

При этом величина напряжения пробоя увеличивается, так как энергию, необходимую для разрыва ковалентных связей носители могут набрать при *больших* напряжениях.

# Туннельный пробой $p$ - $n$ -перехода

# Зонная диаграмма сильнолегированного р-n-перехода при обратном смещении



$$I_{T\bar{V}H} = A \cdot V_{cm}^2 \cdot \exp\left(-\frac{10^8 \cdot E_g^{3/2}}{E}\right)$$

Чтобы этот эффект имел место, электрическое поле должно быть настолько сильным, чтобы обеспечить такой наклон зон, при котором заполненные электронами уровни валентной зоны оказались напротив незаполненных энергетических уровней разрешенной зоны, а ширина потенциального барьера сравнима с длиной волны де Бройля электрона.

Напряжение туннельного пробоя сравнительно слабо зависит от температуры. Однако с *ростом* температуры ширина запрещенной зоны германия и кремния уменьшается, вероятность туннелирования возрастает, и величина критической напряженности поля уменьшается. Поэтому напряжение туннельного пробоя *уменьшается*.

Поскольку напряжение, при котором возникает лавинный и туннельный пробой достаточно стабильно, этот эффект используется для создания приборов, падение напряжения на которых остается стабильным при изменении тока — *стабилитронов*.

# Тепловой пробой *pn*-перехода

При увеличении обратного напряжения увеличивается мощность, рассеиваемая в переходе в виде тепла, поэтому для *pn*-переходов со сравнительно высокими обратными токами возможен разогрев.

Начавшийся разогрев, в свою очередь, приведет к увеличению обратного тока. Таким образом, в *pn*-переходе возникает положительная обратная связь, ведущая к возникновению тепловой неустойчивости – *тепловому пробую*.



# Влияние сопротивления базы на ВАХ

падение напряжения на базе:

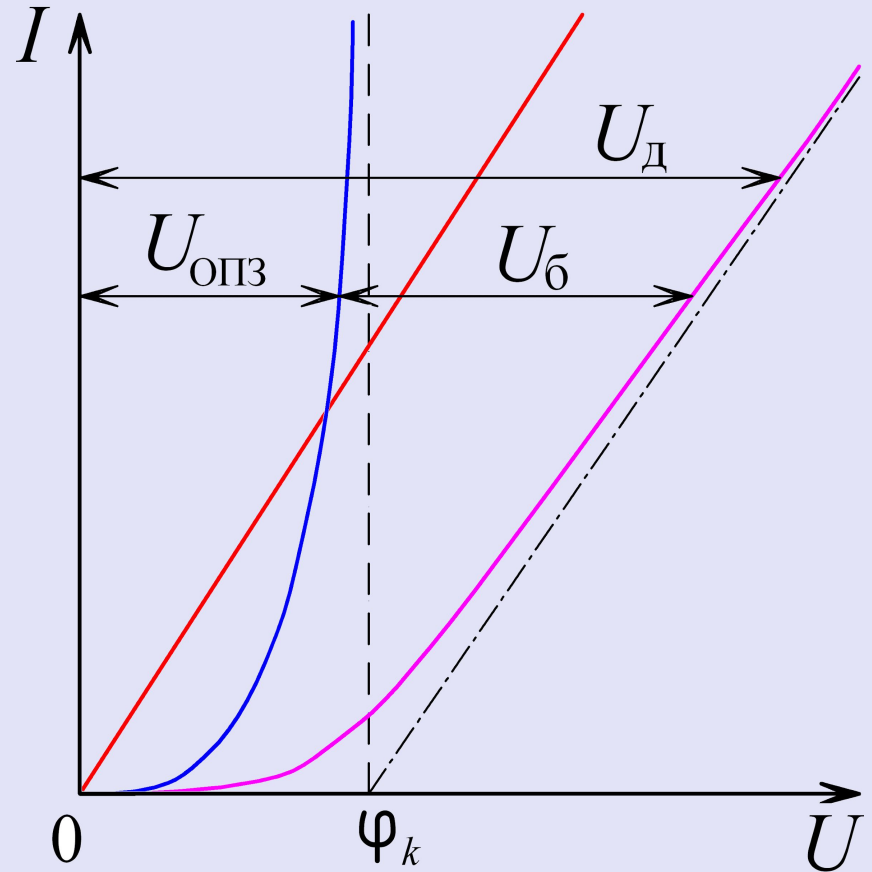
$$U_{\bar{o}} = I r_{\bar{o}}$$

$$r_{\bar{o}} = \rho_n W_n / S$$

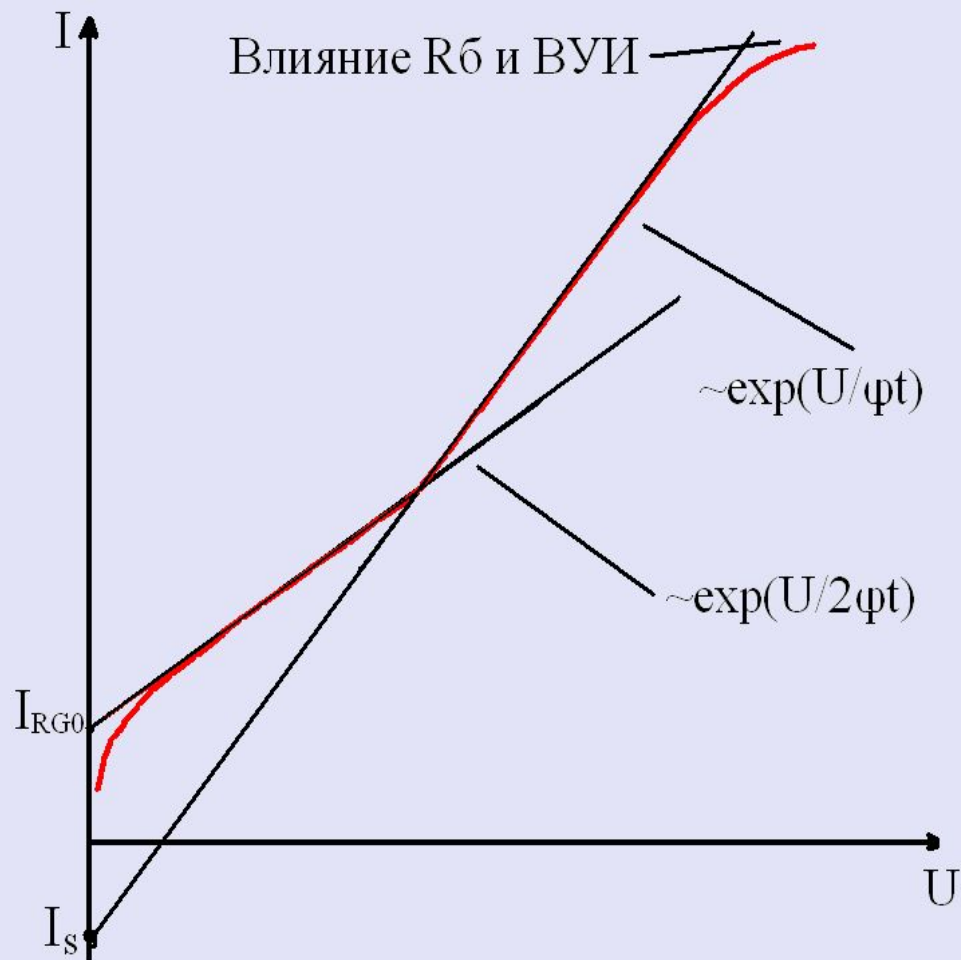
$$\text{где } \rho_n = \frac{1}{\sigma_n} = \frac{1}{q \mu_n n}$$

$$U = \varphi_T \ln(I / I_S + 1)$$

$$U_D = U + U_{\bar{o}} = \varphi_T \ln(I / I_S + 1) + I r_{\bar{o}}$$



# Прямая ВАХ в полулогарифмическом масштабе



Толщина базы  $l_n - W_n(V_{см})$ , в свою очередь, влияет на закон распределения инжектированных носителей и диффузионных токов.

Экспоненциальное распределение, представленное в формулах справедливо для *длинной* базы, то есть при

$$l_n - W_n(V_{см}) \gg L_p$$

В случае короткой базы:

$$p_n(x) = p_{n0} + \Delta p_{n0} \cdot \frac{sh \frac{x_n - W_n - x}{L_p}}{sh \frac{x_n - W_n}{L_p}}$$

$$p_n(x) = p_{n0} + \Delta p_{n0} \cdot \left( 1 - \frac{x}{x_n - W_n} \right)$$

# Характеристическое сопротивление диода

Различают два вида характеристического сопротивления диодов: *дифференциальное сопротивление  $r_d$*  и *сопротивление по постоянному току  $R_D$* .

Дифференциальное сопротивление определяется как

$$r_d = \frac{dV_{cm}}{dI} = \left[ \frac{dI}{dV_{cm}} \right]^{-1} =$$
$$= \left[ \frac{I_s}{\phi_T} \cdot \exp\left(\frac{V_{cm}}{\phi_T}\right) - \frac{I_s}{\phi_T} + \frac{I_s}{\phi_T} \right]^{-1} = \left[ \frac{I + I_s}{\phi_T} \right]^{-1} = \frac{\phi_T}{I + I_s}$$

# Сопротивление по постоянному току $R_D$

Определяется как отношение приложенного напряжения к протекающему току через диод:

$$R_D = \frac{V_{см}}{I} = \frac{V_{см}}{I_s \cdot \left[ \exp\left(\frac{V_{см}}{\phi_T}\right) - 1 \right]}$$

На прямой ВАХ сопротивление  $R_D > r_d$ , на обратной –  $R_D < r_d$ .

В точке вблизи нулевого значения напряжения  $V_{см} \ll kT/q$  значения сопротивлений совпадают.

Действительно, разложив экспоненту, получаем:

$$R_D = \phi_T \cdot \frac{1}{I_s} = \frac{kT}{q} \cdot \frac{1}{I_s} = r_d$$

# Переходные процессы в полупроводниковых диодах

При быстрых изменениях напряжения на полупроводниковом диоде значение тока через диод, соответствующее статической ВАХ, устанавливается не сразу. Процесс установления тока при таких переключениях называют *переходным процессом*.

Переходные процессы в полупроводниковых диодах связаны с накоплением носителей в базе диода при его прямом включении и их рассасывании в базе при быстром изменении полярности напряжения на диоде. Так как электрическое поле в базе обычного диода отсутствует, то движение неосновных носителей в базе определяется законами диффузии и происходит относительно медленно. В результате кинетика накопления носителей в базе и их рассасывание влияют на *динамические свойства* диодов в режиме переключения.

При  $t = 0$

$$p_n(x) = (p_{n1} - p_{n0}) \cdot \exp\left(-\frac{x}{L_p}\right) + p_{n0}$$

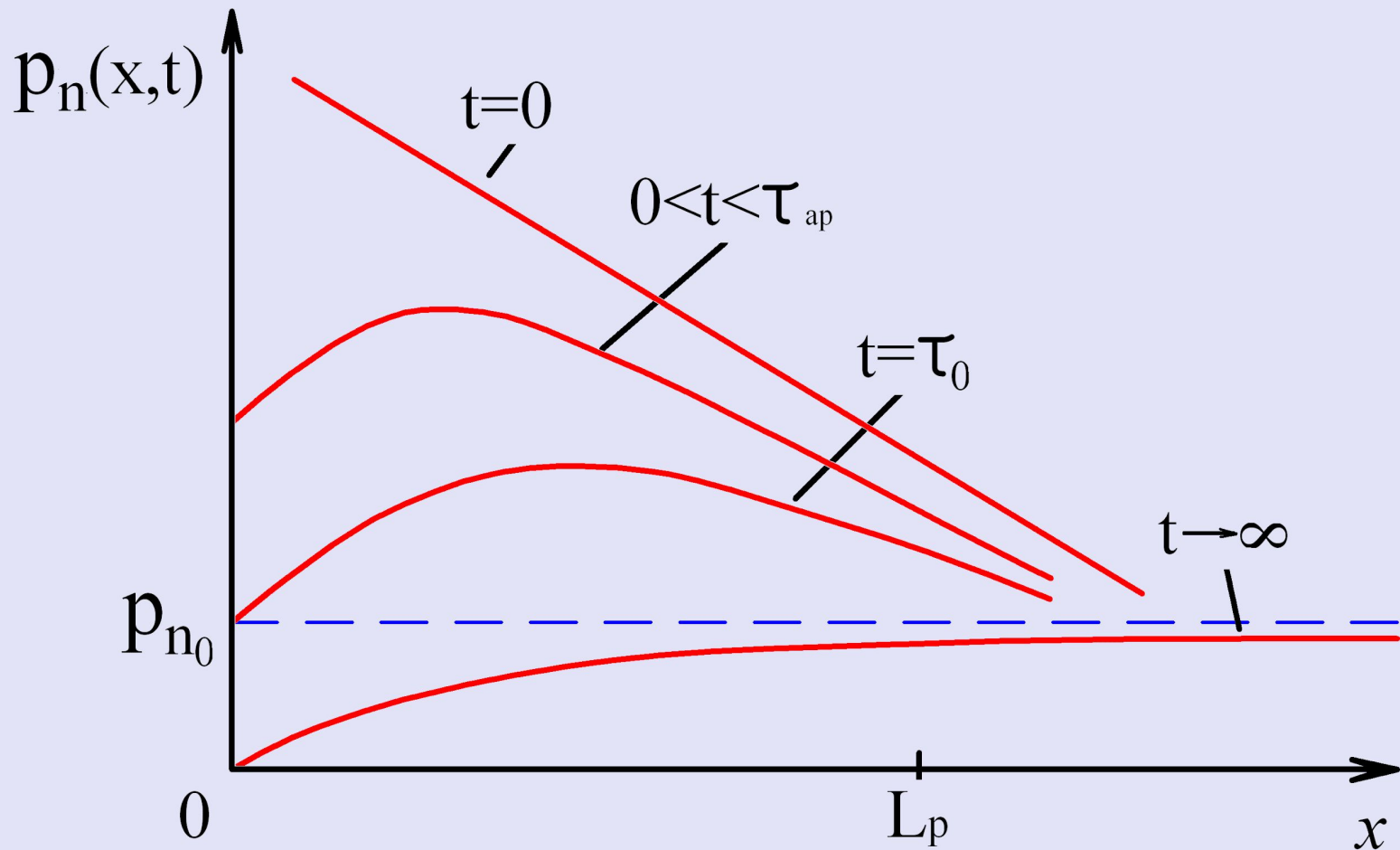
С течением времени концентрация неравновесных носителей будет убывать, следовательно, будет убывать и обратный ток.

За время  $\tau_0$ , называемое *временем восстановления обратного сопротивления* или *временем рассасывания*, обратный ток придет к значению, равному току насыщения.

При  $t \rightarrow \infty$

$$p_n = p_{n0} \left( 1 - \exp\left(-\frac{x}{L_p}\right) \right)$$

# Координатные зависимости $p(x,t)$ в различные моменты времени

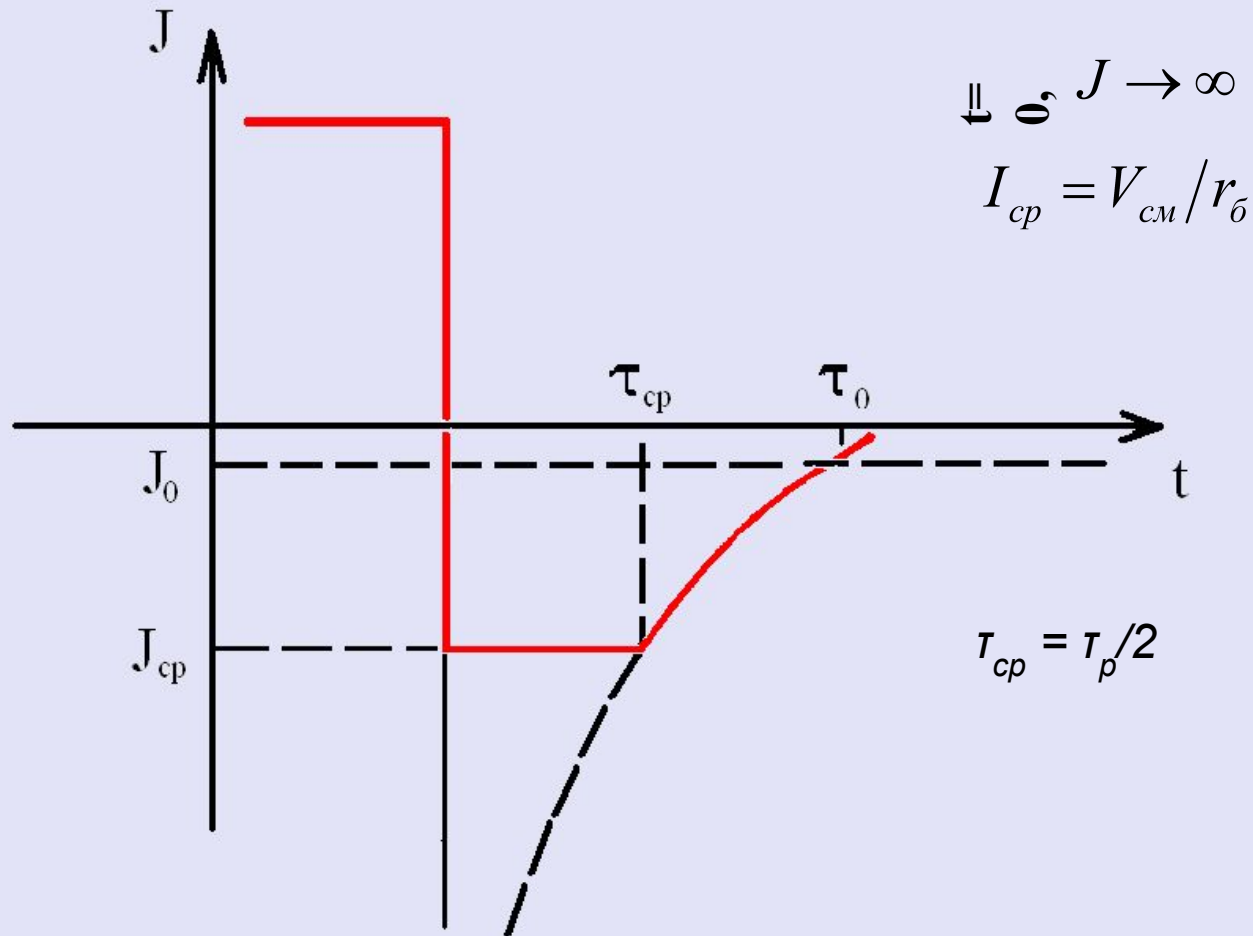




Обратный ток обусловлен только диффузией дырок к границе ОПЗ  $p$ - $n$ -перехода:

$$j = -qD_p \left. \frac{dp_n}{dx} \right|_{x=0}$$

# Зависимость обратного тока при переключении диода



# Полупроводниковые диоды

В данном разделе будут рассмотрены следующие типы полупроводниковых диодов:

- выпрямительные диоды на основе *pn*-перехода
- стабилитроны, варикапы
- туннельные и обращенные диоды

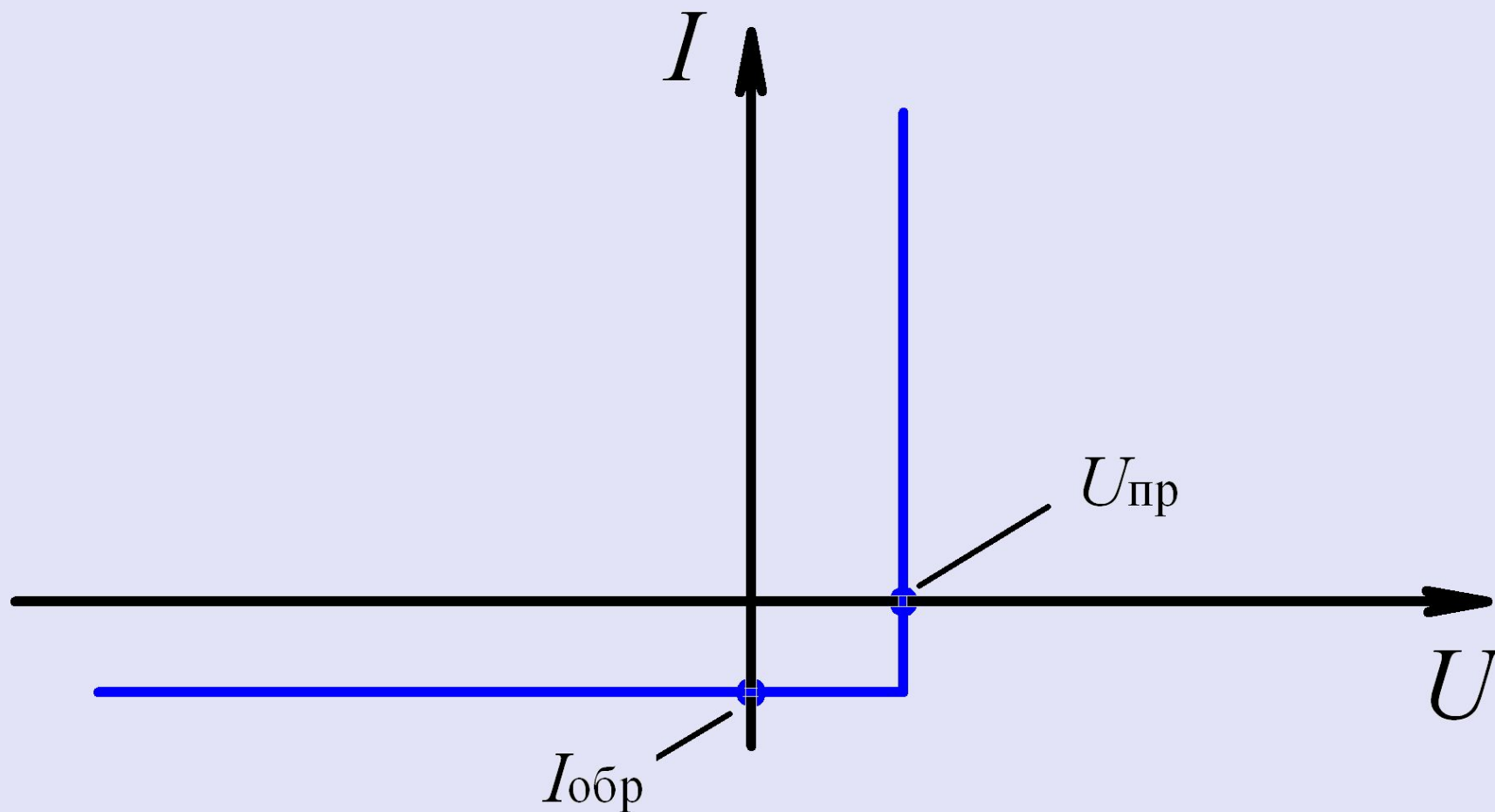
# Выпрямительные диоды

Основная задача выпрямительного диода – выпрямление переменного (в частности синусоидального) тока, то есть выделение постоянной его составляющей.

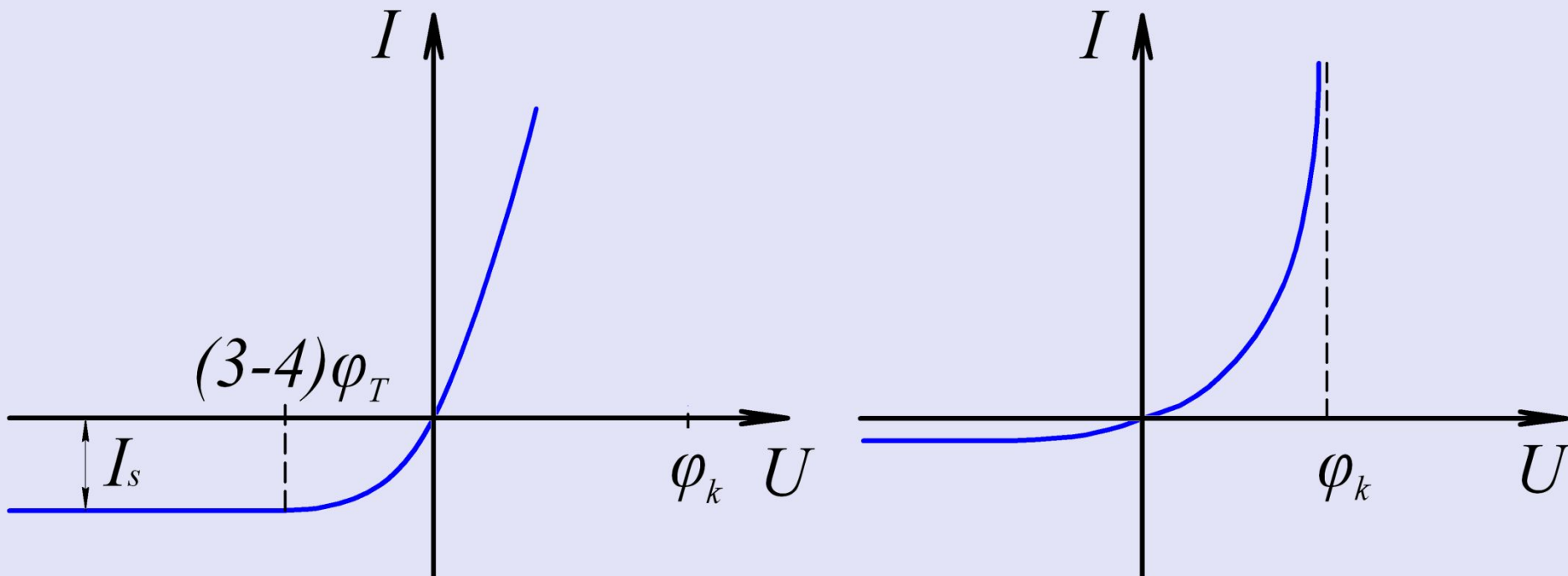
Применяется в цепях управления и коммутации, для развязок в электрических цепях, ограничения выбросов напряжений в цепях с индуктивными элементами, а также в цепях, где необходимы вентиляльные элементы и не предъявляется жестких требований к временным и частотным параметрам.

*Выпрямительные или вентиляльные свойства* полупроводникового диода определяются его ВАХ

# ВАХ идеализированного выпрямляющего устройства

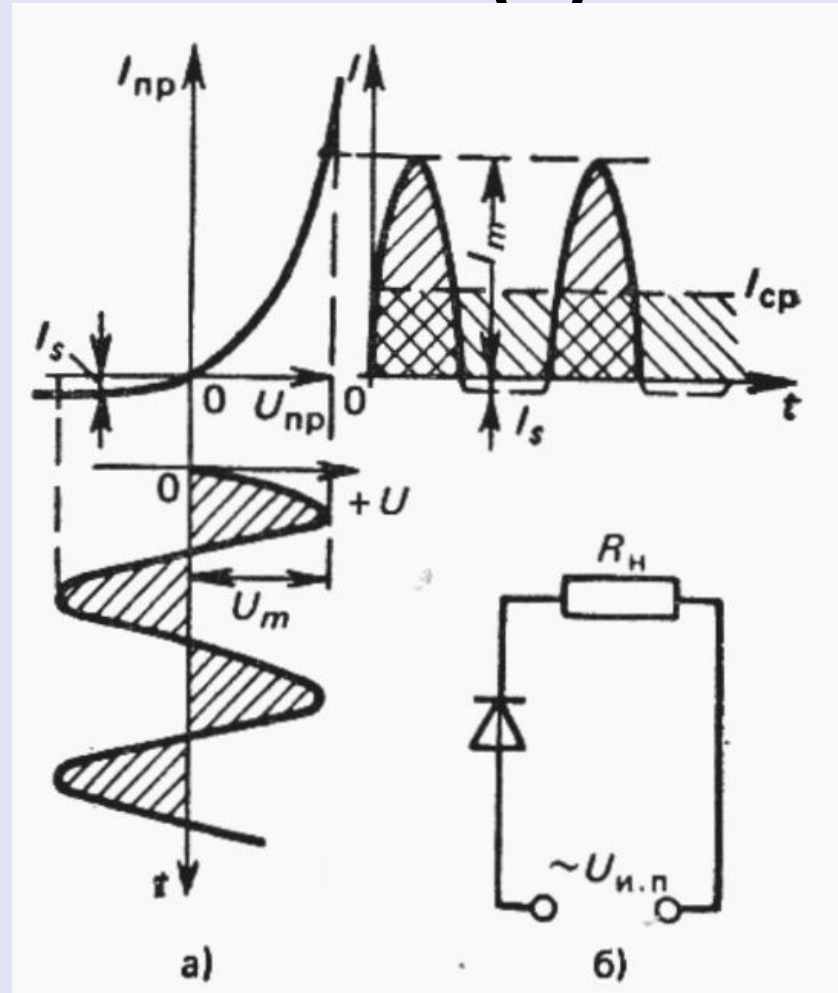


# ВАХ реального $p\text{-}n$ -перехода



*Выпрямительный, или силовой, диод – прибор, предназначенный для выпрямления переменного тока. Их применяют в цепях управления и коммутации, для развязок в электрических цепях, ограничения выбросов напряжений в цепях с индуктивными элементами, а также в цепях, где необходимы вентиляные элементы и не предъявляется жестких требований к временным и частотным параметрам.*

# Графики напряжения и выпрямленного тока (а). простейшая выпрямительная схема (б)



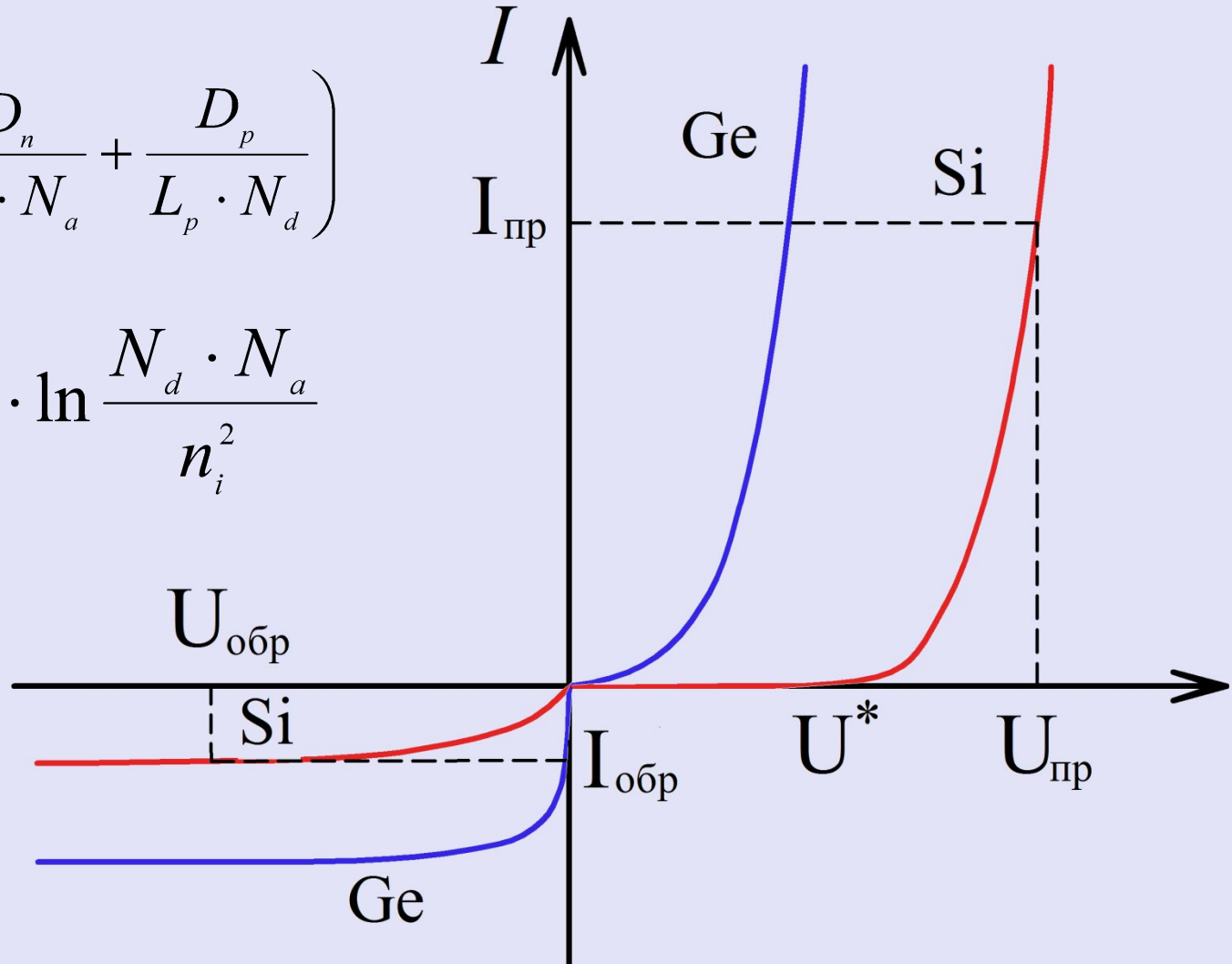


# Качественное сравнение ВАХ германиевого и кремниевое диода

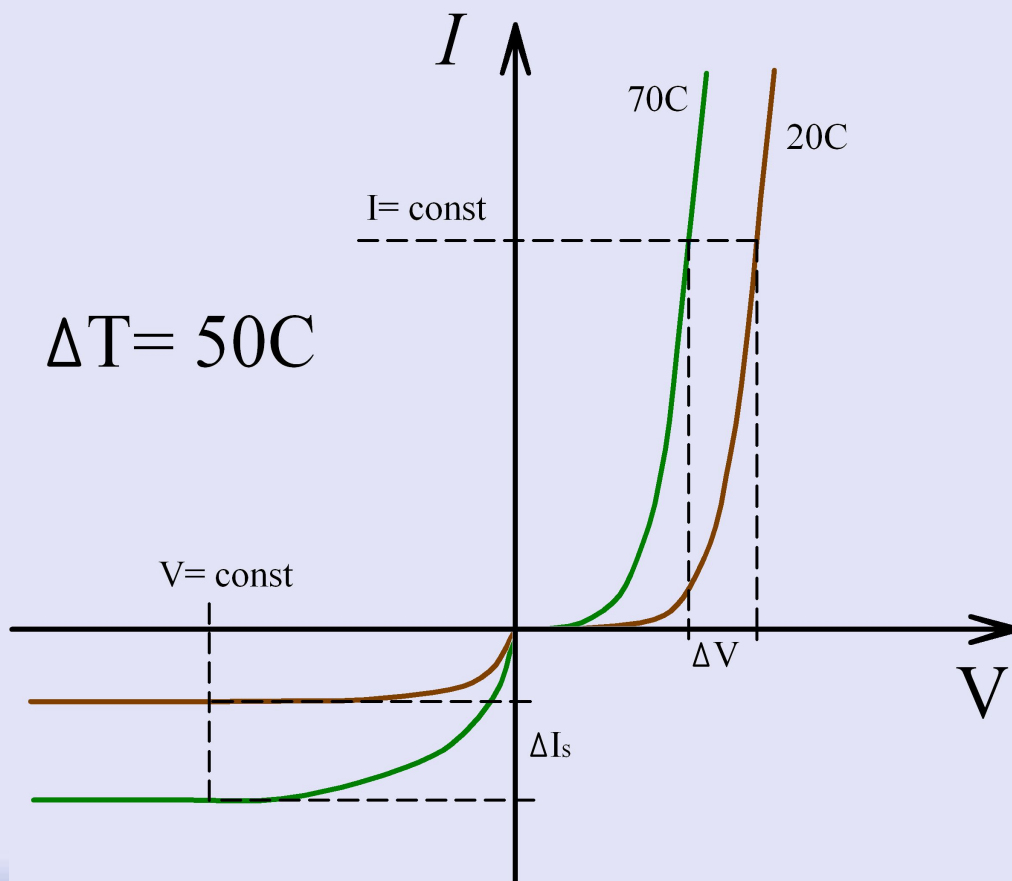
(масштабы прямого и обратного токов различны)

$$j_s = q \cdot n_i^2 \cdot \left( \frac{D_n}{L_n \cdot N_a} + \frac{D_p}{L_p \cdot N_d} \right)$$

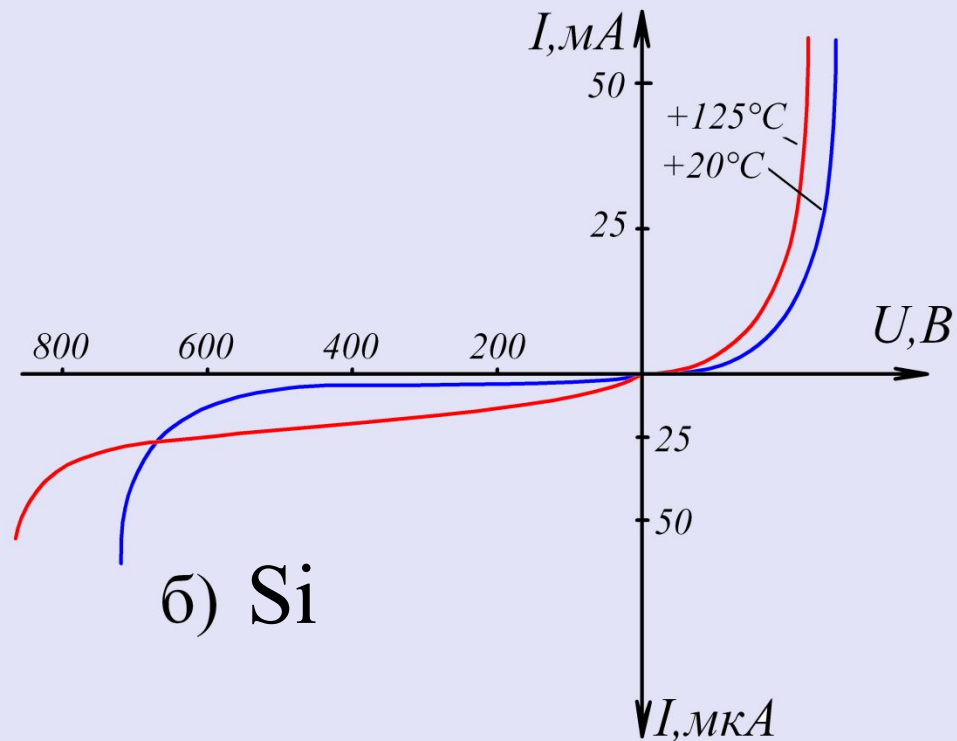
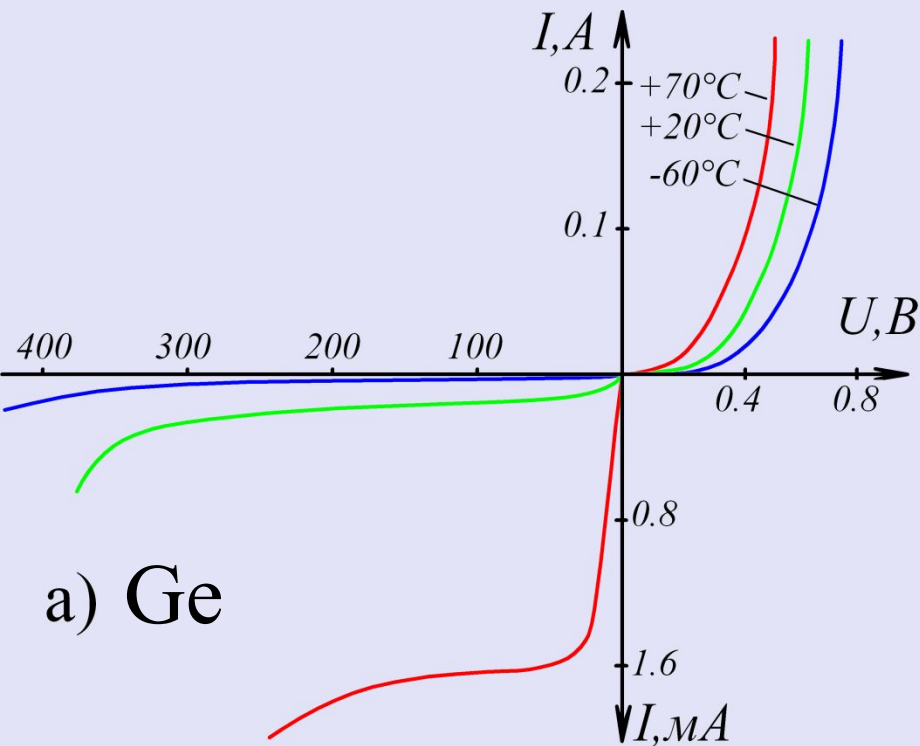
$$q \cdot \phi_k = kT \cdot \ln \frac{N_d \cdot N_a}{n_i^2}$$



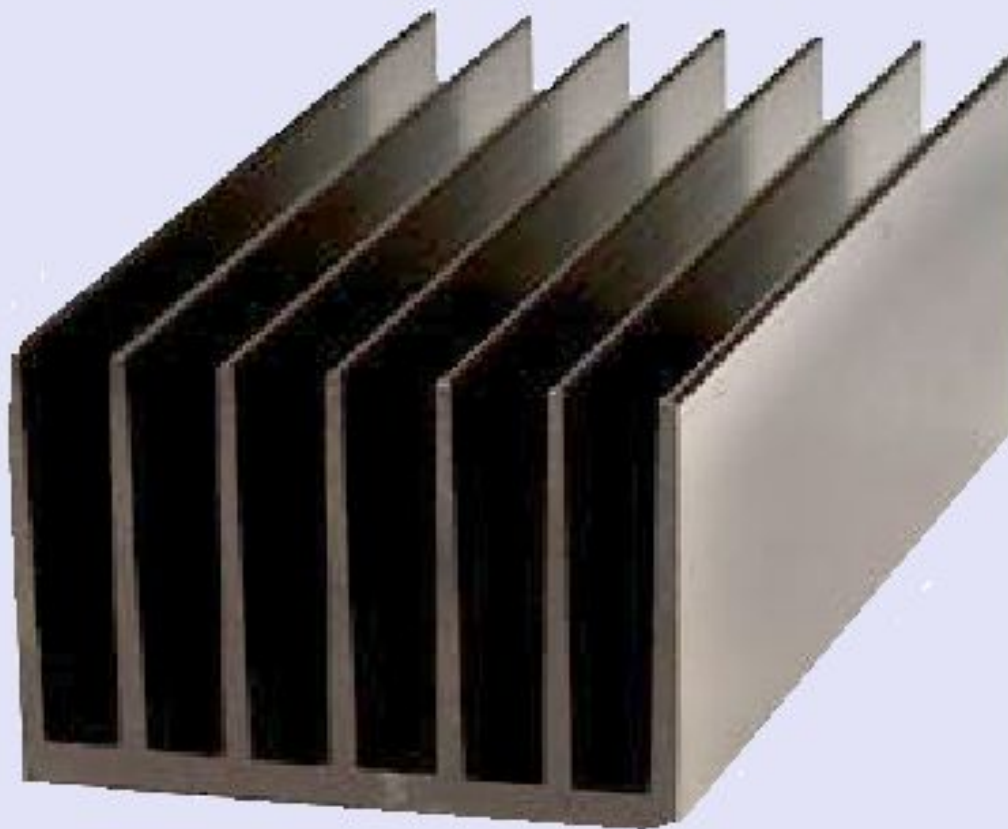
При повышении температуры изменяются практически все электрофизические свойства полупроводников, поэтому изменяются и параметры полупроводниковых приборов, в частности, значение контактной разности потенциалов уменьшается, а ток насыщения растет.

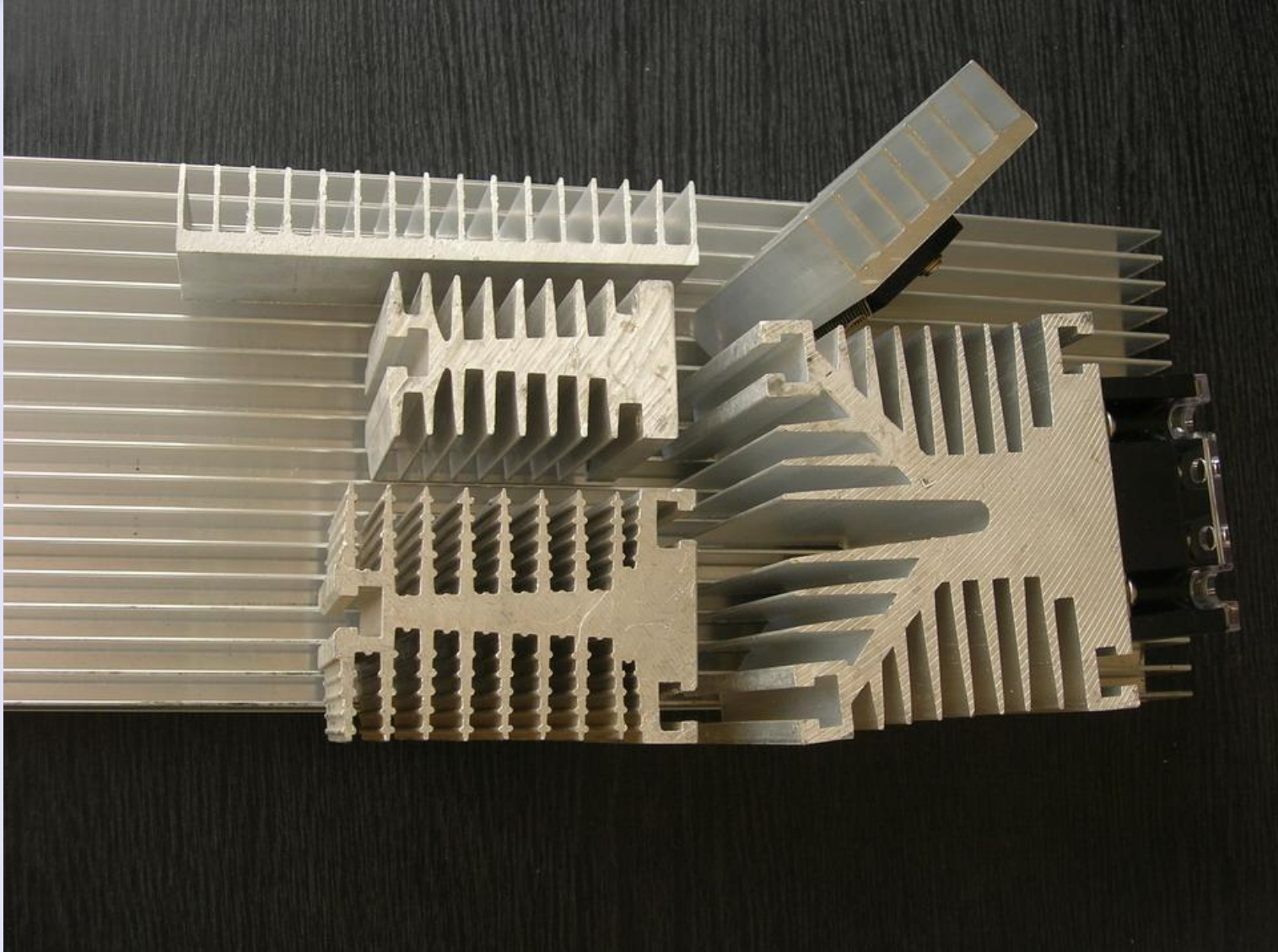


Изменение температуры диода может произойти не только вследствие изменения температуры окружающей среды, но и за счет саморазогрева  $pn$ -перехода при больших плотностях протекающего через него токов.



Снижение влияния температуры добиваются путем введения специальных конструктивных элементов корпусов – радиаторов



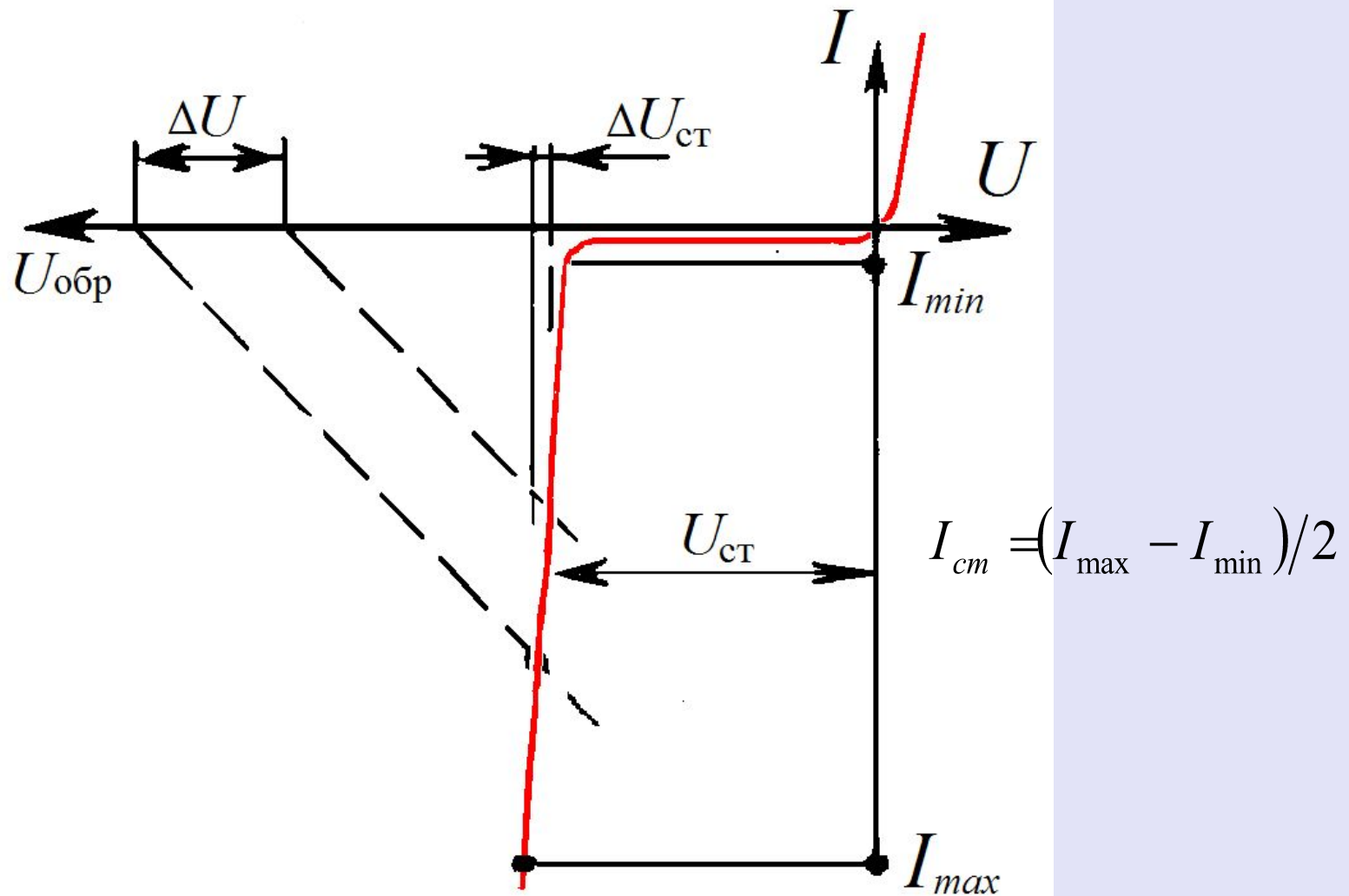


# Стабилитроны

*Стабилитрон (опорный диод)* – полупроводниковый диод, предназначенный для стабилизации напряжения.

Стабилитроны используют также в качестве ограничителей постоянного или импульсного напряжения, элементов межкаскадной связи, источников эталонного напряжения и др.

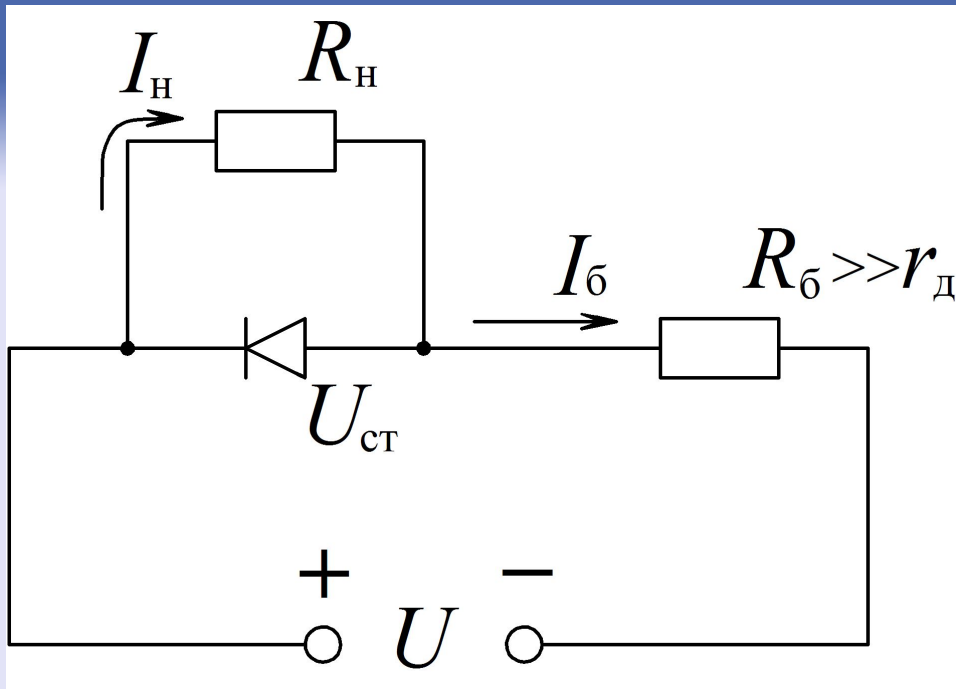
# ВАХ стабилитрона



Основными характеристиками стабилитрона являются ток  $I_{ст}$  и напряжение  $U_{ст}$  стабилизации, дифференциальное напряжение стабилитрона  $r_d$  и температурная зависимость этих параметров.

Основное назначение стабилитрона – стабилизация напряжения на нагрузке ( $R_H$ ), при изменяющемся напряжении во внешней цепи. В неразветвленную часть цепи включают балластный резистор  $R_0$ , сопротивление которого должно быть существенно больше дифференциального сопротивления стабилитрона .





$$U_H = U_{cm}$$

$$I_B = I_H + I_{cm}$$

$$U = I_H \cdot R_H + I_B \cdot R_B = U_{cm} + I_B \cdot R_B$$

$$\frac{U - U_{cm}}{R_B} = \frac{U_{cm}}{R_H} + I_{cm} \quad U_{cm} = (U - I_{cm} R_B) / \left( 1 + \frac{R_B}{R_H} \right)$$

$$U = U_{cm} \cdot \left( \frac{1}{R_H} + \frac{1}{R_B} \right) \cdot R_B + I_{cm} \cdot R_B$$

В режиме короткого замыкания ( $U_{cm} = 0$ )

$$I_{cm} = I_{K3} = \frac{U_n}{R_B}$$

$$U_{cm} = U_{XX} = \frac{U_n \cdot R_n}{R_n + R_B}$$

Нестабильность выходного напряжения вызывается двумя основными причинами: нестабильностью входного напряжения  $U_{II}$  и нестабильностью входного тока (нестабильностью сопротивления нагрузки  $R_n$ ).

$$\begin{aligned}\Delta U &= \Delta U_{cm} + R_B (\Delta I_H + \Delta I_{cm}) = \\ &= \Delta U_{cm} + R_B \left( \frac{\Delta U_{cm}}{R_H} + \frac{\Delta U_{cm}}{r_d} \right)\end{aligned}$$

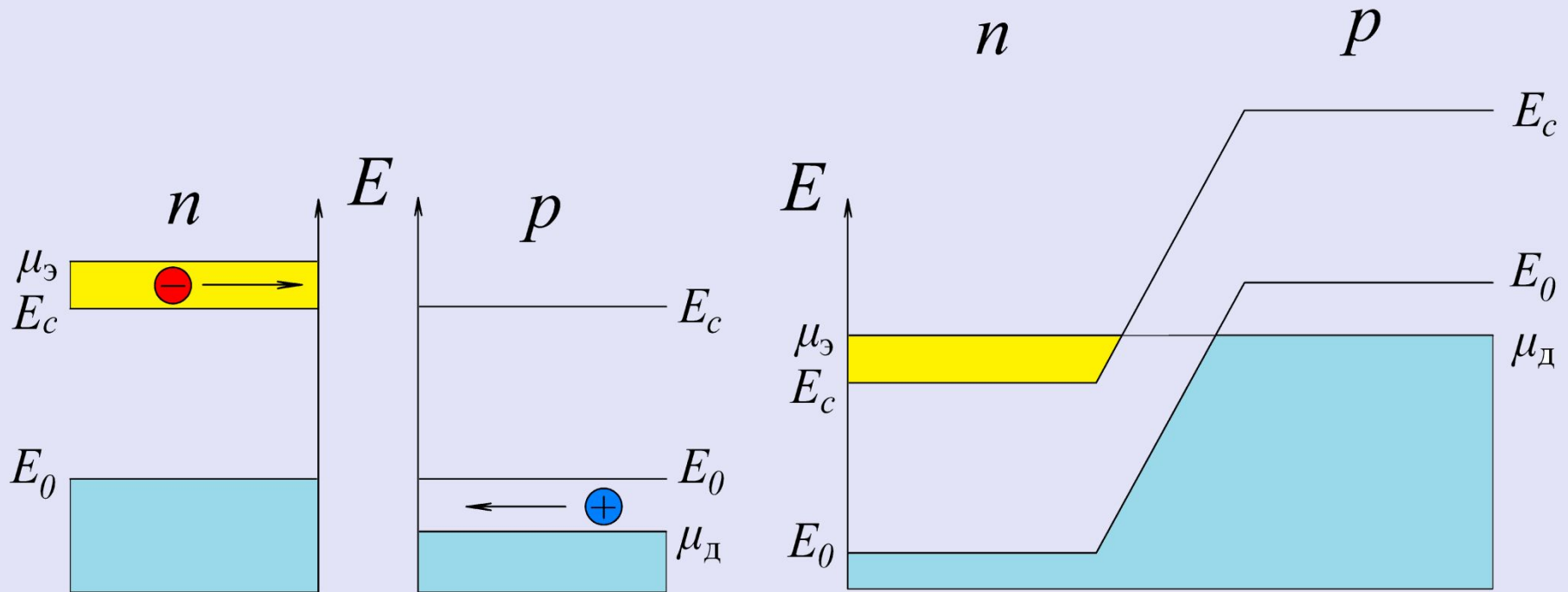
$$\Delta U_{cm} = \frac{\Delta U}{1 + R_B/R_H + R_B/r_d}$$

# Туннельные диоды

*Туннельный диод* был предложен в 1958 году Лео Исаки, который в 1973 году получил Нобелевскую премию по физике за открытие эффекта туннелирования электронов, применяемого в этих диодах.

*Туннельным диодом* называют полупроводниковый диод на основе  $p+n^+$ -перехода с сильнолегированными областями, на прямом участке ВАХ которого наблюдается N-образная зависимость тока от напряжения.

# Энергетические диаграммы сильно-легированных полупроводников

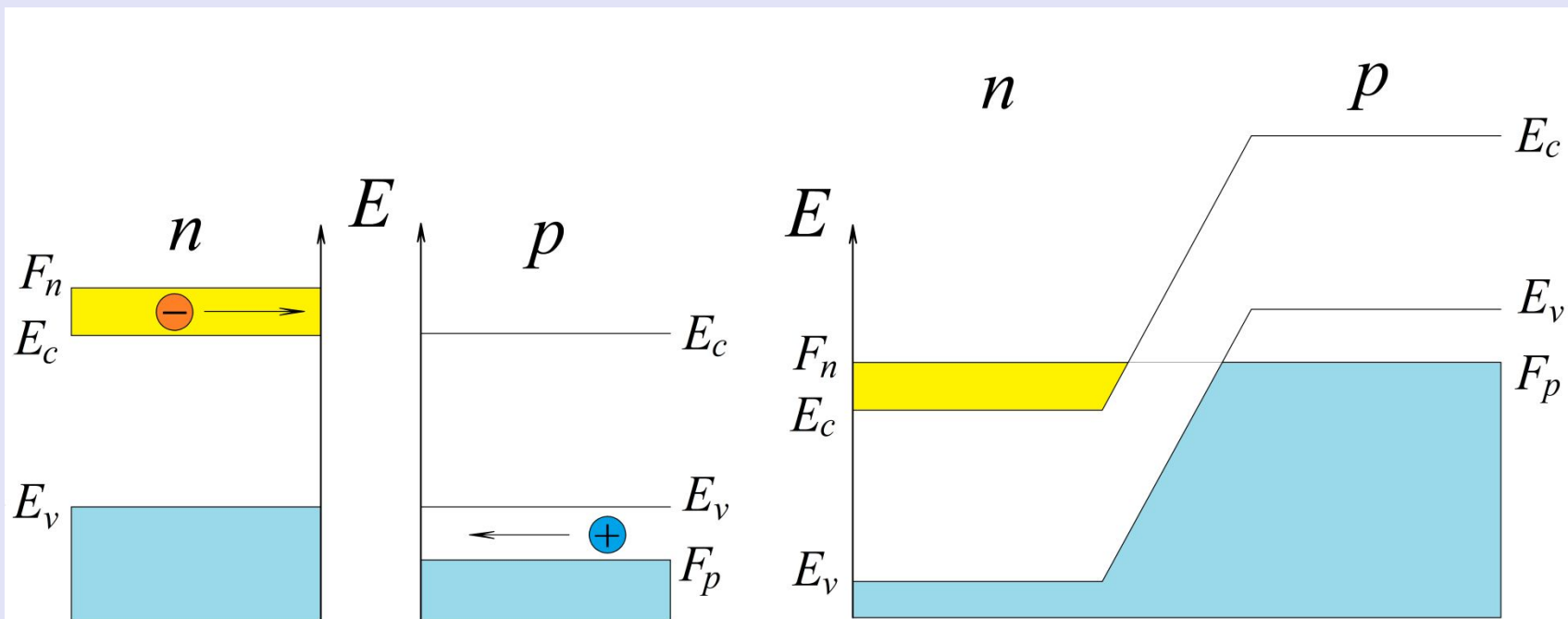


$$W = \sqrt{\frac{4\varepsilon_S\varepsilon_0\varphi_0}{qN_d}} = \sqrt{\frac{2\varepsilon_S\varepsilon_0E_g}{qN_d}} = \sqrt{\frac{2 \cdot 10^{-12} \cdot 1.1}{1.6 \cdot 10^{19}}} \approx 10^{-6} \text{ см}$$

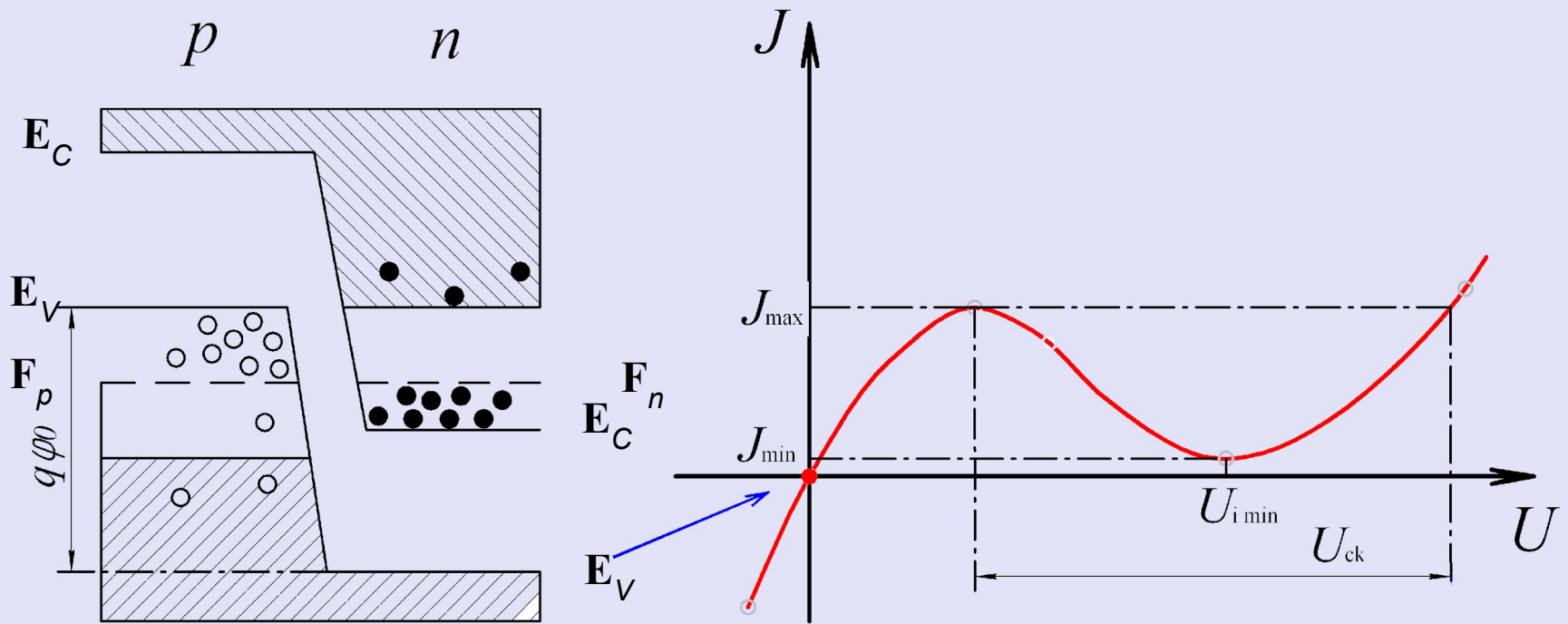
$$E = kT = \frac{\hbar^2 k^2}{2m}; \quad k = \frac{2\pi}{\lambda}; \quad E = \frac{\hbar^2 (2\pi)^2}{2m \cdot \lambda^2} = kT$$

$$\lambda = \sqrt{\frac{h^2}{2m \cdot kT}}$$

$$\lambda = \sqrt{\frac{(6.63 \cdot 10^{-34})^2}{2 \cdot 9.1 \cdot 10^{-31} \cdot 1.38 \cdot 10^{-23} \cdot 300}} \approx 76 \text{ \AA}$$

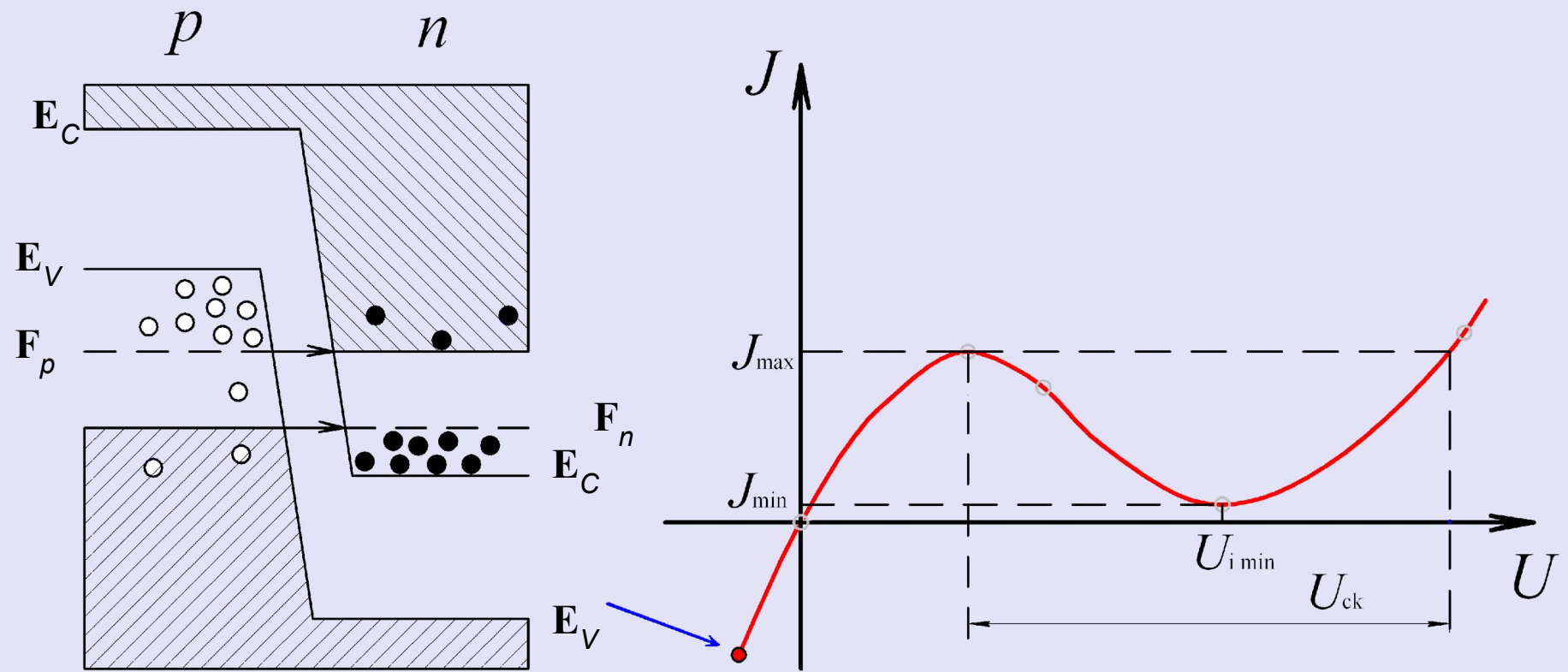


# ВАХ туннельного диода

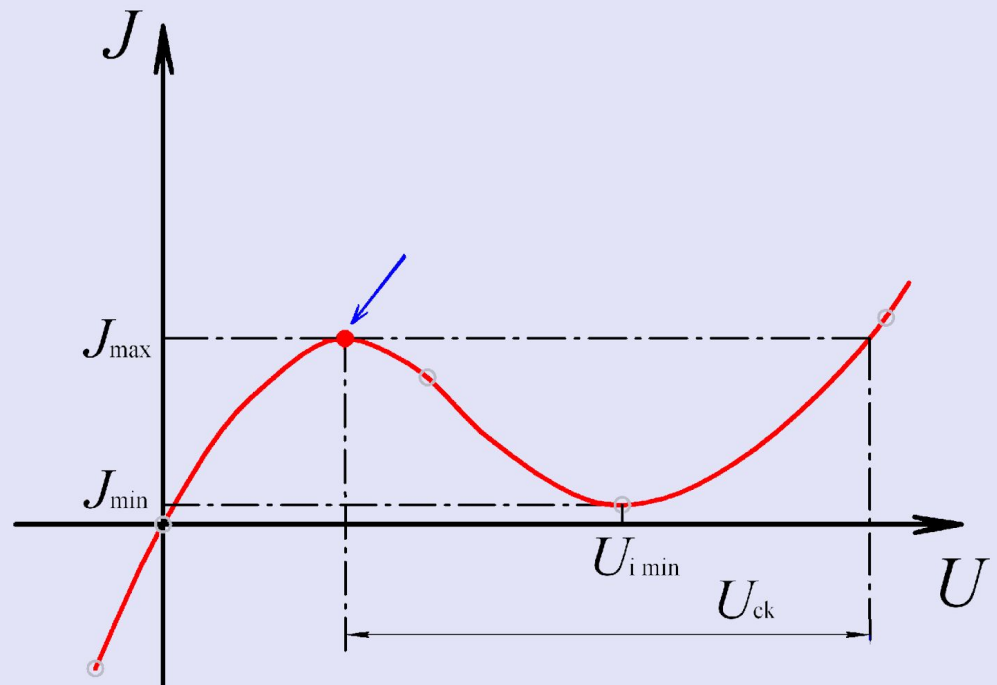
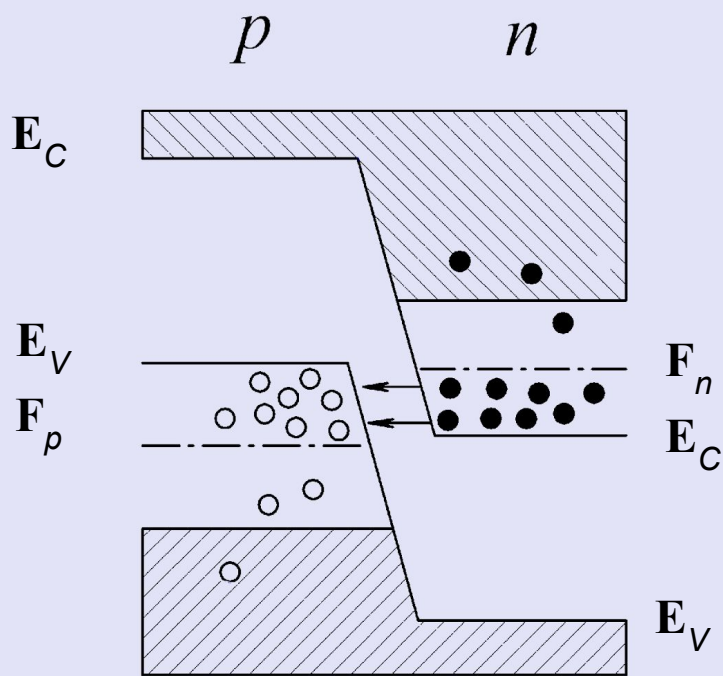




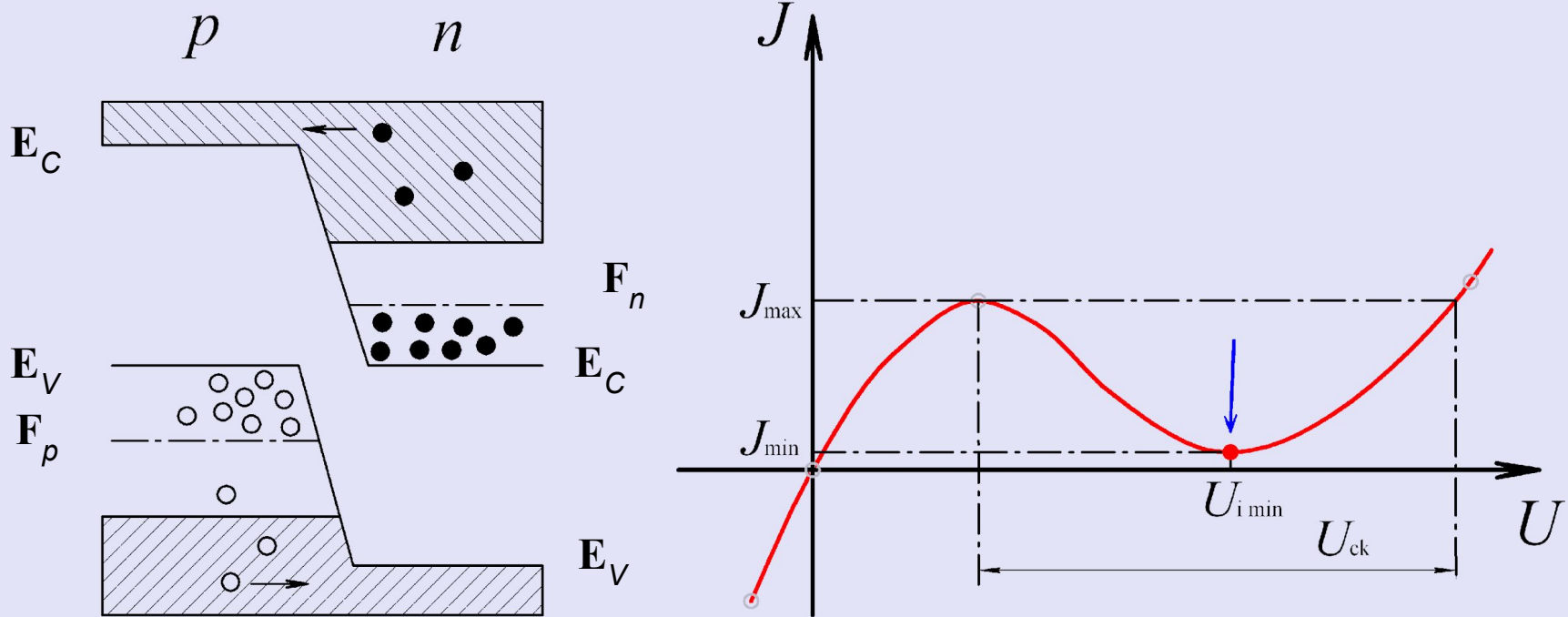
# ВАХ туннельного диода



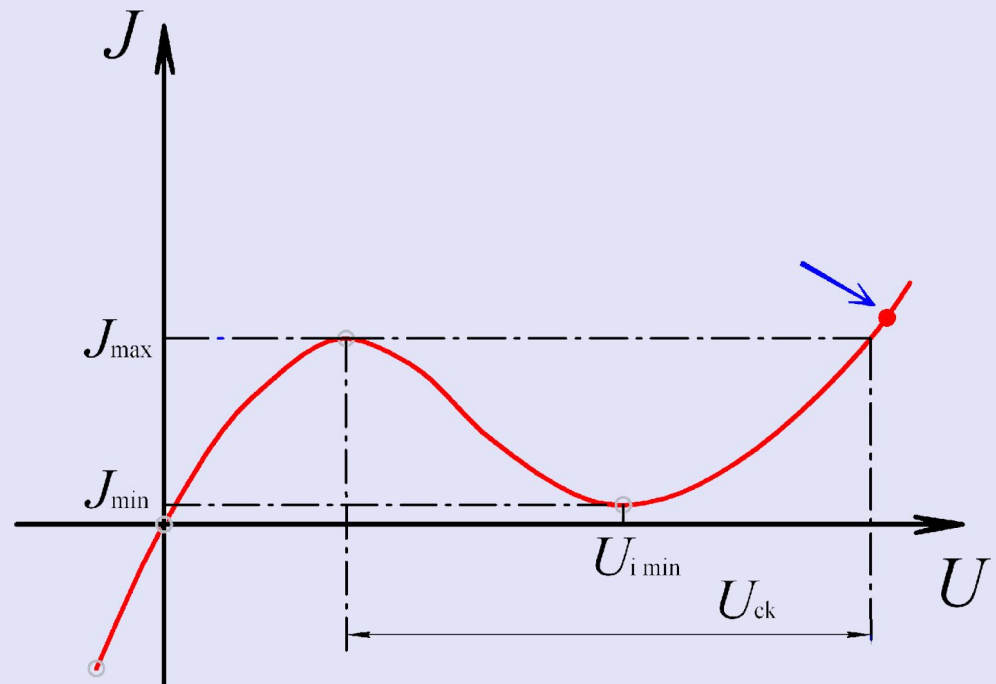
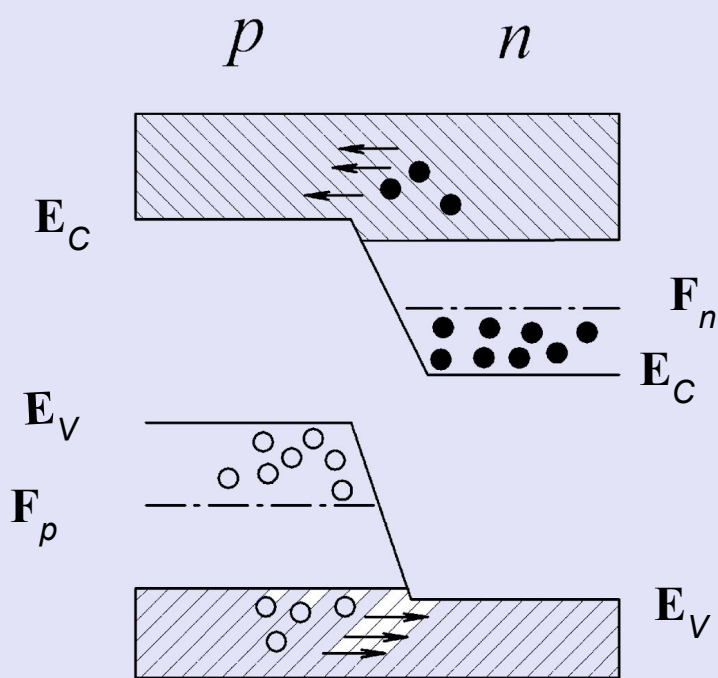
# ВАХ туннельного диода



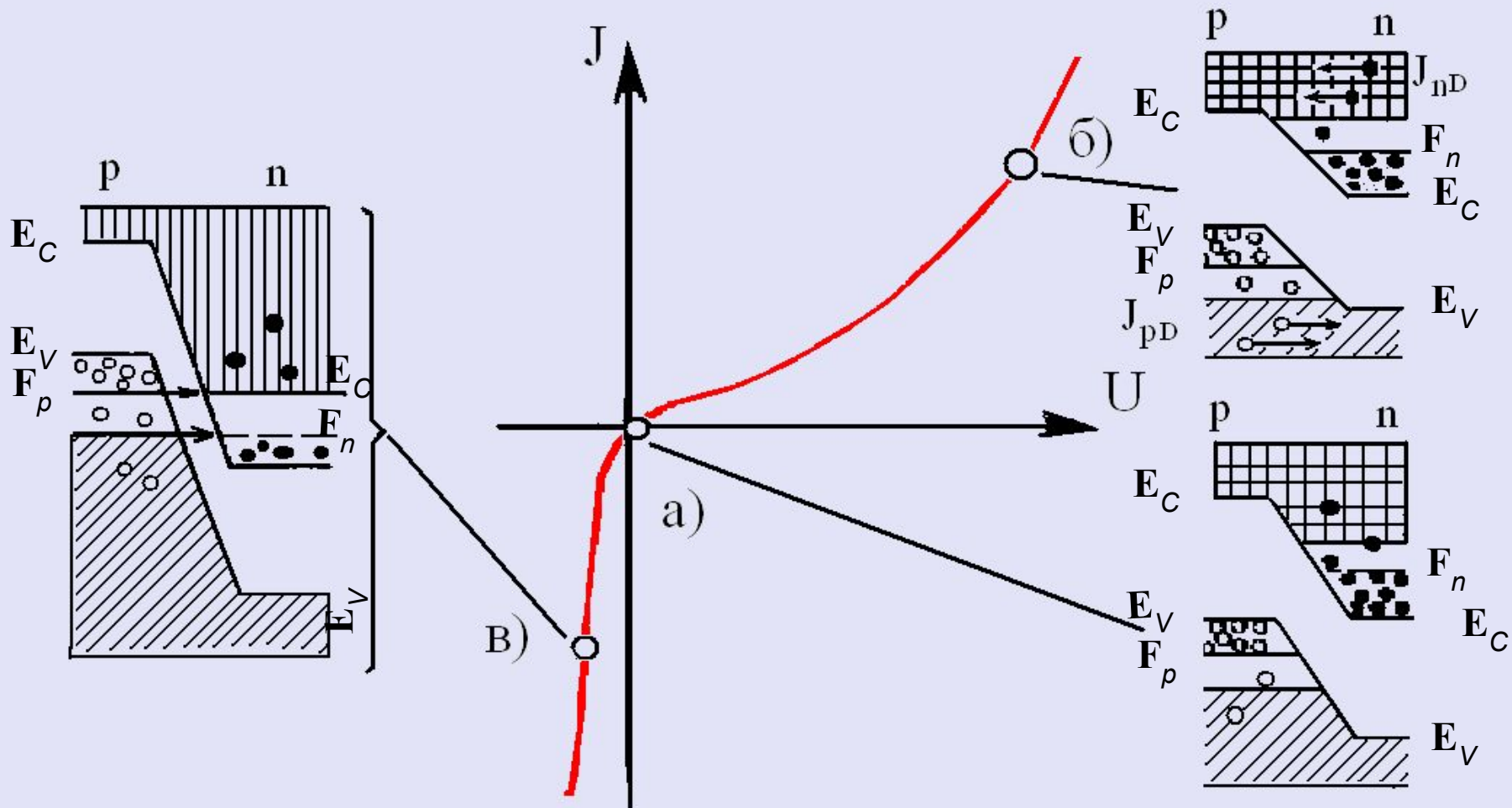
# ВАХ туннельного диода



# ВАХ туннельного диода



# Обращенный диод



# Расчет ВАХ барьера Шоттки

# Расчет ВАХ барьера Шоттки

При приложении напряжения:

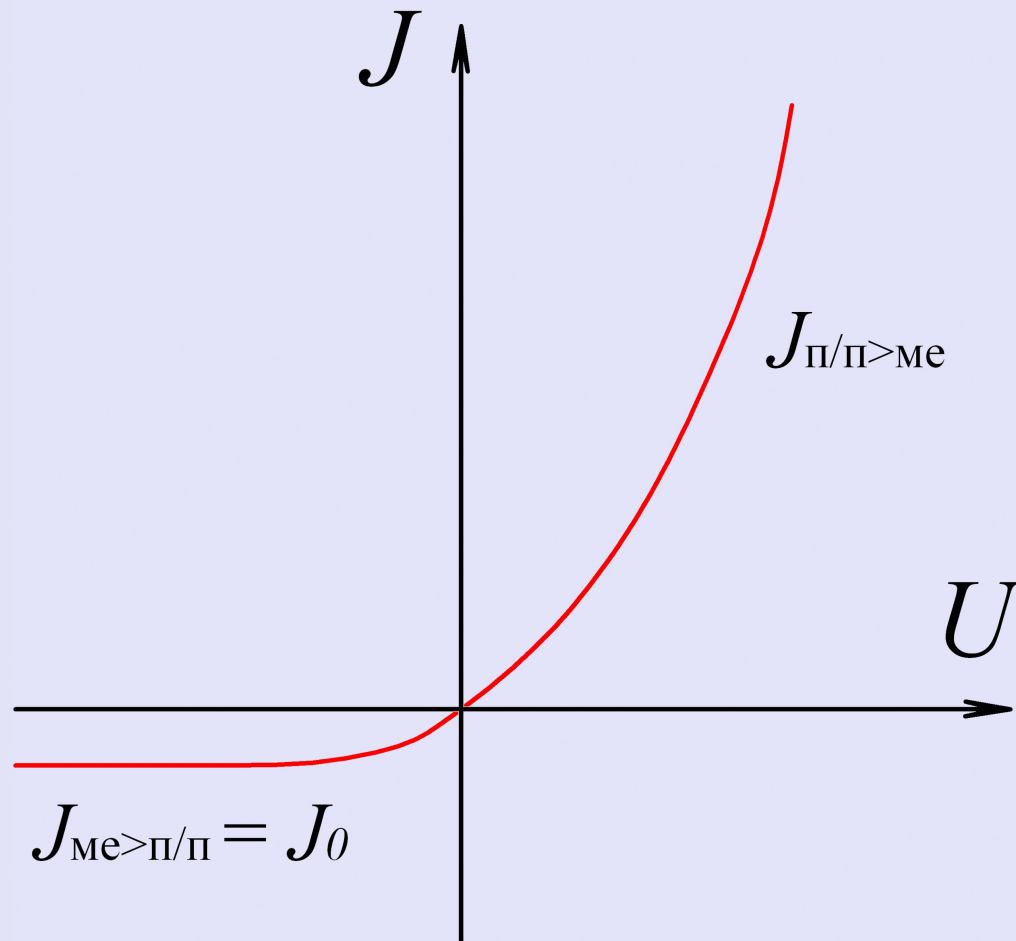
$$W = \sqrt{\frac{2 \cdot \varepsilon \cdot \varepsilon_0 \cdot (\phi_k \pm V_{\text{см}})}{q \cdot N_d}} \quad J = J_{\text{п.п}} - J_{\text{м}} = J_{\text{с}} \cdot \left( e^{-\frac{V}{\phi_T}} - 1 \right)$$

где

$$J_{\text{с}} = A \cdot T^2 \cdot e^{\frac{U_b}{\phi_T}}$$

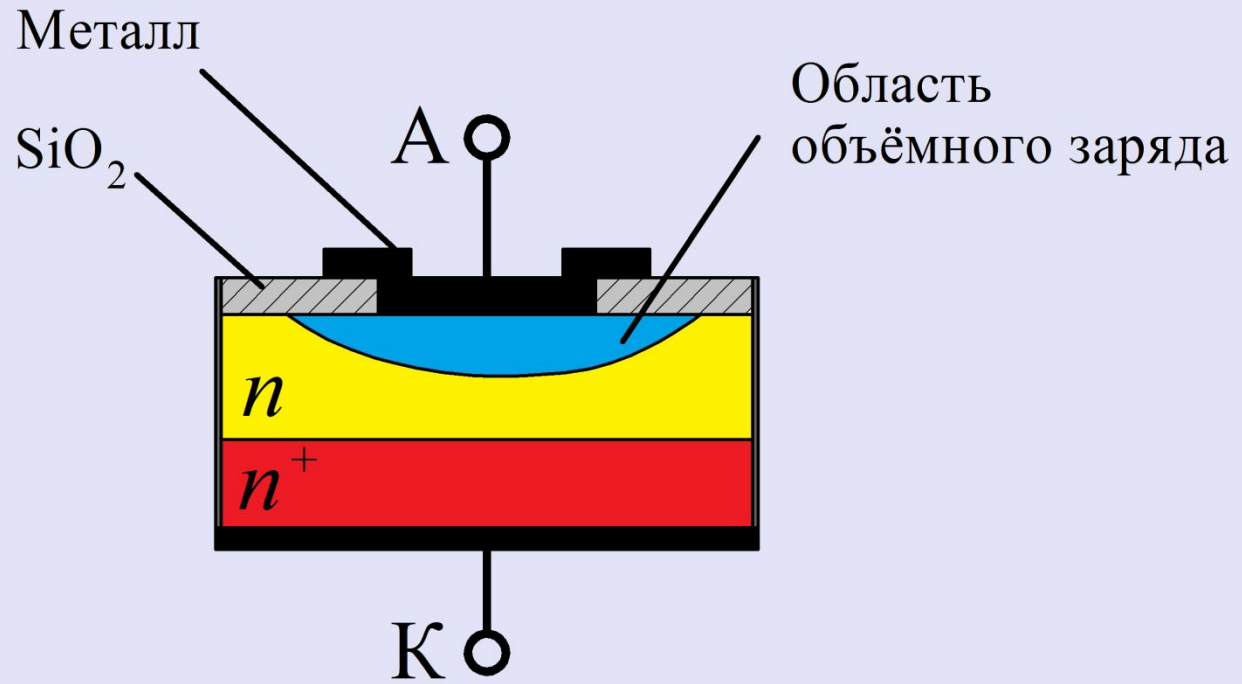
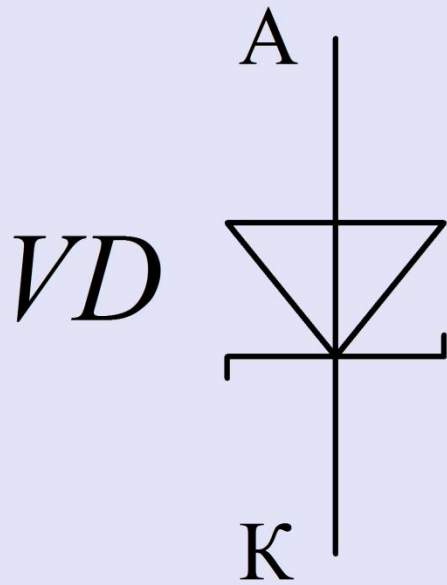
$$A = \frac{4\pi \cdot m_n^* \cdot q \cdot k^2}{h^3} = 120 \cdot \frac{m_n^*}{m_0} \left[ \frac{\text{А}}{\text{см}^2 \text{К}^2} \right] - \text{Постоянная Ричардсона}$$

# ВАХ диода Шоттки





# Диод Шоттки



- Диоды Шоттки характеризуются быстрой рекомбинацией инжектированных носителей (время жизни носителей крайне мало), а значит и высоким быстродействием.
- Благодаря минимальному сопротивлению базы и отсутствию процессов накопления и рассасывания избыточных зарядов, быстродействие получается достаточно высоким: граничная частота  $f_{гр} \approx 10^{10}$  Гц .